

МИНИСТЕРСТВО НЕФТЯНОЙ ПРОМЫШЛЕННОСТИ

РУКОВОДЯЩИЙ ДОКУМЕНТ

М Е Т О Д И К А

ТЕПЛОВОГО И ГИДРАВЛИЧЕСКОГО РАСЧЕТА  
ТРУБОПРОВОДОВ ПРИ СТАЦИОНАРНОЙ ПЕРЕКАЧКЕ  
НЬЮТОНОВСКИХ НЕФТЕЙ С УЧЕТОМ ТЕПЛА ТРЕНИЯ

РД 39-30-577-81

1981

Министерство нефтяной промышленности  
ТЮМЕНСКИЙ ФИЛИАЛ ИНСТИТУТА "ГИПРОТРУБОПРОВОД",  
УФИМСКИЙ НЕФТЯНОЙ ИНСТИТУТ

УТВЕРЖДЕНО

Первым заместителем министра  
нефтяной промышленности

В.И.Кремневым

28 мая 1981 г.

руководящий документ

М Е Т О Д И К А  
ТЕПЛОВОГО И ГИДРАВЛИЧЕСКОГО РАСЧЕТА ТРУБОПРОВОДОВ  
ПРИ СТАЦИОНАРНОЙ ПЕРЕКАЧКЕ НЬЮТОНОВСКИХ НЕФТЕЙ С  
УЧЕТОМ ТЕПЛА ТРЕНИЯ

РД 39-30-577-81

1981

# РУКОВОДЯЩИЙ ДОКУМЕНТ

---

## МЕТОДИКА

### ТЕПЛОВОГО И ГИДРАВЛИЧЕСКОГО РАСЧЕТА ТРУБОПРОВОДОВ ПРИ СТАЦИОНАРНОЙ ПЕРЕКАЧКЕ НЫТОНОВСКИХ НЕФТЕЙ С УЧЕТОМ ТЕПЛА ТРЕНИЯ

РД 39-30-577 - 81

Вводится впервые

---

Приказом Министерства нефтяной промышленности № 394  
от "23" июля 1981г.

Срок введения с I сентября 1981г.  
Срок действия до I сентября 1986г.

## I. ОБЩЕЕ ПОЛОЖЕНИЕ

I.1. Настоящая методика предназначена для теплогидравлических расчетов стационарных режимов работы эксплуатируемых и проектируемых трубопроводов в условиях существенного влияния тепла трения и кристаллизации парафина, переменных по длине температуры окружающей среды и коэффициента теплопередачи.

По приведенным в методике формулам следует расчитывать линейную и технологическую часть магистральных нефтепроводов.

I.2. Под теплом трения понимается тепло, генерирующееся в трубопроводе, магистральных насосах и дросселирующих органах при переходе механической энергии, затраченной на перекачку, в тепловую

энергии. Уменьшение полной механической энергии жидкости, переход ее в тепло трения приводит к разогреву жидкости, который должен учитываться при расчетах трубопроводов.

I.3. Методика позволяет решать следующие задачи:

- заданы температура жидкости в начале трубопровода и его длина, определить температуру жидкости в конце трубопровода и потери на трение;
- заданы температура жидкости в конце трубопровода и его длина, определить температуру жидкости в начале трубопровода и потери напора на трение;
- заданы температуры жидкости в начале и конце трубопровода, определить его длину и потери напора на трение;
- рассчитать распределение температуры жидкости по длине трубопровода и ее среднюю величину;
- заданы техническая характеристика трубопровода, характеристика перекачиваемой жидкости, характеристика окружающей среды, определить необходимость учета тепла трения и кристаллизации парафина, параметрических по длине коэффициента теплопередачи и температуры окружающей среды;
- заданы начальная температура нефти и длина трубопровода, определить допустимую конечную температуру и допустимый максимальный расход нефти.

Гидравлический расчет выполняется на основе теплового.

I.4. Перечень использованных в Методике условных обозначений приведен в Приложении I.

## 2. ИСХОДНЫЕ ДАННЫЕ ДЛЯ РАСЧЕТА

Исходные данные должны включать:

1. Техническую характеристику трубопровода и магнитральных насосов:

- а) производительность перекачки -  $M$ ;
- б) внутренний и наружный диаметр трубопровода -  $D$ ;  $D_{нар}$ ;
- в) длину трубопровода -  $L$ ;
- г) глубину заложения трубопровода, считая по оси -  $h_0$ ;
- д) материал и толщину изоляции -  $\lambda_u$  и  $\delta_u$ ;
- е) начальную или конечную температуру жидкости -  $t_n$ ;  $t_k$ ;
- ж) температуру грунта в ненаруженном состоянии по трассе трубопровода -  $t_{o,i}$ ;
- з) радиус и число оборотов ротора насосов -  $R$  и  $O$ ;
- и) диапазон регулирования давления дроссельным устройством -  $\Delta p_i$ ;

2. Характеристику перекачиваемой жидкости:

- а) зависимости плотности -  $\rho(t)$ , теплопроводности -  $\lambda(t)$ , удельной теплоемкости -  $C_{ap}(t)$ , кинематической вязкости -  $\eta(t)$ , интенсивности кристаллизации -  $\frac{dE(t)}{dt}$  парафика от температуры -  $t$ ;
- б) значения коэффициента объемного расширения нефти -  $\beta_o$ ;

3. Характеристику внешней среды:

- а) сведения о распределении грунтов по трассе трубопровода;
- б) данные о температуре, влажности, теплоемкости, объемном весе и коэффициенте теплопроводности грунтов за глубину заложения по месяцам года;
- в) данные по толщине суголового покрова в районе прохождения трассы трубопровода.

Определение характеристики жидкости необходимо провести в лаборатории непосредственно на нефти, предназначенной для перекачки.

Определение плотности производится в соответствии с действующим ГОСТом при температуре 20°C. Пересчет на плотность при других температурах производится по формулам:

$$\rho_t = \frac{\rho_{20}}{1 + \beta_0(t - 20)} ; \quad (1)$$

$$\rho_t = \rho_{20} - d_t(t - 20),$$

где  $\beta_0$  - коэффициент объемного расширения, величина которого выбирается в соответствии с табл.П-1 (см.приложение 2);

$d_t$  - температурная поправка, определяемая по табл.П-2.

Массовая теплоемкость рассчитывается по формуле Крего:

$$C_p = \frac{1324 \cdot 10^5}{\sqrt{\rho_{15}}} (0.403 + 0.00081t) \quad (2)$$

Теплопроводность нефти также рассчитывается по формуле Крего:

$$\lambda = \frac{1175 \cdot 10^3}{\rho_{15}} (1 - 0.00054t) \quad (3)$$

Кинематическая вязкость определяется по формуле Рейнольдса:

$$\nu_t = \nu_i \exp[-4(t - t_i)] , \quad (4)$$

где  $\nu_i$  кинематическая вязкость при температуре  $t_i$ , выбранной в диапазоне изменения температуры нефти в процессе дегазации;

$4$  - коэффициент крутизны вискограммы.

$$\sqrt{4} = \frac{1}{t_2 - t_1} \ln \frac{\nu_i}{\nu_2} , \quad (5)$$

где  $\nu_2$  - кинематическая вязкость при температуре  $t_2$ .

Зависимость интенсивности кристаллизации парафина от температуры определяется эмпирической формулой:

$$-\frac{dE}{dt} = B_0(t_{\text{нп}} - t)^{B_1} e^{B_2(t_{\text{нп}} - t)}, \quad (6)$$

где  $B_0$ ,  $B_1$ ,  $B_2$  - постоянные коэффициенты, определяемые путем обработки экспериментальных данных (приложение 6).

Средняя интенсивность кристаллизации парафина определяется по формуле:

$$-\frac{\Delta E}{\Delta t} = \frac{C_n}{t_{\text{нп}} - t_{\text{кл}}} \quad (7)$$

Величина  $(t_{\text{нп}} - t_{\text{кл}})$  при приближенных расчетах принимается равной 40  $\div$  50°. Общее содержание парафина Сп в различных нефтях определяется лабораторным путем.

Теплофизические свойства грунтов необходимо определять непосредственно в полевых условиях на трассе трубопровода.

При отсутствии возможности определения теплофизических свойств грунтов в полевых условиях необходимые параметры могут быть приняты по действующим СНиПам (СНиП П-18-76, СНиП П-А.6-72 и др.) и "Справочникам по климату СССР".

Теплофизические свойства грунта меняются вдоль трассы. Расчет величины коэффициента теплопроводности для участков с грунтами, близкими по свойствам, ведется по следующей формуле [1]:

$$\lambda_{\text{гр,а}} = \frac{\sum_{i=1}^n \lambda_{\text{гр,а},i} X_i}{\sum_{i=1}^n X_i}$$

Если трубопровод проходит по зонам с резко различающимися грунтами, то определение  $\lambda$  следует проводить по области родственных грунтов.

Прогрев грунта следует учитывать при разности температур стеки трубы к грунту большей величины  $-(t_{наг}-t_0)_{\text{ср.}}$  (табл. I).

Таблица I

грунт	Критическая разность температур		$a_1$	$a_2$
	$W_0 \geq a_1 - a_2 f_{tr}$	$W_0 < a_1 - a_2 f_{tr}$		
суглинок	15 ÷ 19	26 ÷ 35	66,2	0,0271
песок	15 ÷ 20	27 ÷ 36	57,6	0,0263
глина	15 ÷ 20	28 ÷ 37	86,8	0,0345
глина	16 ÷ 21	28 ÷ 38	93,3	0,0362

Значение эффективного коэффициента теплопроводности грунта при наличии процесса его подсушки в тепловом поле трубопровода определяется по формуле:

$$\lambda_{tr} = \lambda_{tr,0} - C_2 f_{tr} \frac{(t_{наг}-t_0)^2 \sqrt{n_0 W_0^2 + n_1 W_0 + n_2}}{(1+B_1)(t_{наг}-t_0) - B_2 h_0} \quad (8)$$

Коэффициент теплопроводности грунта в нарушенном состоянии  $\lambda_{tr,0}$  определяется экспериментально или путем расчета по формуле:

$$\lambda_{tr,0} = C_1 + C_2 f_{tr} W_0 + C_3 f_{tr} \quad (9)$$

Коэффициенты  $C_1$ ,  $C_2$ ,  $C_3$  выбираются из табл. 2 в зависимости от типа грунта.

Таблица 2

Тип грунта	$C_1$	$C_2 \cdot 10^3$	$C_3 \cdot 10^3$
Слабо подзолистая тяжелосуглинистая почва пылеватая на моренных суглинках	-0,966	3,12	II,4
Дерново-подзолистая тяжелосуглинистая почва среднеокультуренная на мореной глине	0,216	1,98	2,27
Дерново-подзолистая тяжелосуглинистая почва под лесом	0,0454	3,90	I,14
Дерново-глеевая подзолистая супесчаная почва на песках	0,159	0,284	2,27

Коэффициенты  $\bar{P}_0, \bar{P}_1, \bar{P}_2, \bar{\delta}_1$  и  $\bar{\delta}_2$  (в формуле 8) выбираются по таблицам 3 и 4:

Таблица 3

Значения коэффициентов  $\bar{B}_1$  и  $\bar{B}_2$ 

Грунт	$W_0 \geq a, -a_2 \rho_p$		$W_0 < a, -a_2 \rho_p$	
	$\bar{B}_1$	$\bar{B}_2$	$\bar{B}_1$	$\bar{B}_2$
супесь	1,912	II,03	1,871	18,98
песок	1,690	8,49	1,766	17,15
суглинок	1,662	7,64	1,676	15,63
глина	1,499	6,43	1,603	14,12
	$\bar{B}_1$	$\bar{B}_2$	$\bar{B}_1$	$\bar{B}_2$

Таблица 4

Коэффици- енты	Г р у п т			
	супесь	песок	суглинок	глина
$P_0$	-0,000483	-0,000321	-0,000254	-0,000806
$P_1$	0,0162	0,0122	0,0105	0,0187
$P_2$	-0,00997	-0,00705	-0,00632	-0,0371

### 3. ТЕМПОВОЙ РАСЧЕТ НЕФТЕПРОВОДА ПРИ УСТАНОВИШЕМСЯ РЕЖИМЕ ПЕРЕКАЧКИ НЕФТИ

3.1. Все задачи, перечисленные в п. I.3., следует решать на основе распределения температуры по длине трубопровода. Это распределение необходимо рассчитывать по формуле:

$$\mathcal{J}_a = \int_{t_n}^{t_e} \frac{\rho_0}{\pi - 1} \cdot \frac{dt}{t - t_0} \quad (I0)$$

3.2. Расчеты по уравнению (I0) целесообразно производить численными методами. Для этого уравнение (I0) следует представить в виде:

$$\sum_{j=1}^n \mathcal{J}_{aj} = \sum_{j=1}^n \frac{\rho_0}{\pi - 1} \cdot \frac{\Delta t}{t_j - t_0}, \quad (II)$$

где  $n$  - число участков, на которые разбит перегон между теплофизическими станциями (все свойства вязкости и условия течения на участке принимаются постоянными, соответствующими температуре  $t_j$ );  $t_j$  - средняя температура на участке  $j: \frac{t_{n_j} + t_{k_j}}{2}$ ;  $t_{n_j}$  - начальная температура на участке;  $t_{k_j}$  - конечная температура;  $\Delta t$  - шаг разбиения.

3.3. Для обеспечения необходимой точности гидравлического расчета шаг разбиения выбирается по формуле:

$$\Delta t = t_{k_j} - t_{n_j} = \frac{6}{\mu m} \ln(1 - \delta_r) \quad (I2)$$

3.4. Задачу определения температуры в конце перегона при заданных начальной температуре и длине перегона следует решать в следующей последовательности:

- по уравнению (I2) определить шаг разбиения  $\Delta t$ ;
- вычислить среднюю температуру на первом участке

$$t_1 = t_n + \frac{1}{2} \Delta t = t_n + \frac{6}{\mu m} \ln(1 - \delta_r)$$

в) найти величины  $P_0$  и  $\Pi$ , соответствующие температуре  $t_1$ , необходимые для расчета  $P_0$  и  $\Pi$  способы определения  $K$ ;  $\Delta_e$ ;  $l$ ;  $dE/dt$  и т.д. приведены в Приложениях 3 и 6;

- рассчитать безразмерную длину первого участка:

$$\gamma_a = \frac{P_0}{\Pi - 1} \cdot \frac{\Delta t}{t_1 - t_0} \quad (I3)$$

- вычислить длину первого участка:

$$\Delta x_1 = \frac{M C_{dp} \gamma_a}{K, \varphi D} \quad (I4)$$

е) повторить вычисления по пунктам б) и в), принимая для последующего участка начальную температуру равной конечной температуре на предыдущем участке:

$$t_{K,j+1} = t_{K,j}$$

ж) вычисления повторять до тех пор, пока  $\sum_{i=1}^n x_i$  будет не меньше чем длина перегона между тепловыми станциями  $\ell$ ;

з) вычислить длину последнего участка  $X_n = \ell - \sum_{i=1}^{n-1} x_i$  и определить величину  $t_K$ .

Полученная величина будет искомой температурой в конце перегона.

Пример расчета приведен в Приложении 8.

3.5. При вычислениях необходимо следить за изменением режима течения. Для этого следует вычислить температуру перехода:

$$t_{\text{пер}} = t_0 + \frac{1}{u} \ln \frac{2500 \pi \rho D V_0}{M}, \quad (15)$$

соответствующую конечной границе турбулентного режима перекачки по условиям теплообмена ( $Re = 10000$ ) к максимальной критической температуре:

$$t' = t_0 + \frac{1}{u} \ln \frac{580 \pi \rho D V_0}{M}, \quad (16)$$

соответствующую  $Re = 2320$ .

По мере приближения к максимальной критической температуре  $t'$  следует в соответствии с рекомендациями Приложения 9 уточнить действительное значение критической температуры.

3.6. В случаях, где происходит смена режимов течения, тепловой расчет необходимо проводить по участкам для каждого режима в отдельности, прининая с запасом шаг разбиения на переходном участке ( $Re_{d_2} \leq Re \leq 1000$ ), равным шагу разбиения на участке с ламинарным режимом течения.

3.7. Задачу определения температуры в начале перегона при заданных конечной температуре и длине перегона следует решать в следующей последовательности:

- по уравнению (12) определить шаг разбиения;
- в) вычислить среднюю температуру на конечном участке:

$$t_n = t_k - \frac{1}{2} \Delta t = t_k - \frac{\delta}{\mu \eta} \ln(1 - \delta_r)$$

- в) найти величины  $\mu_k$ ,  $\eta$ , соответствующие температуре  $t_n$ ;
- г) по формулам вида (13) и (14) рассчитать безразмерную и размерную длину последнего участка;
- д) повторить вычисления по пунктам б) и г), приняв для последующего участка конечную температуру, равной начальной температуре на последующем участке:

$$t_{k,j-1} = t_{n,j}$$

- е) вычисления повторять до тех пор, пока  $\sum_{j=1}^n x_j$  будет не меньше чем полная длина перегона между тепловыми отяжениями  $\ell$ ;
- ж) вычислить длину последнего участка  $x_n = \ell - \sum_{j=1}^{n-1} x_j$  и определить величину  $t_n$ , соответствующую заданной длине перегона  $\ell$ ; Полученная величина будет искомой температурой в начале перегона.

3.8. Задачу определения длины перегона при заданных начальной и конечной температурах необходимо решать в следующей последовательности:

- а) по уравнению (12) определить максимальный возможный шаг разбиения  $\Delta t$ ;

б) определить действительное число участков, округлив в большую сторону число участков, полученных по формуле:

$$j = \frac{t_N - t_A}{\Delta t} \quad (17)$$

в) рассчитать действительный шаг по температуре, разделив  $t_N - t_A$  на действительное число участков.

Далее расчет следует производить в соответствии с указаниями, приведенными в пунктах 3.4. или 3.7.

3.9. Задачу о распределении температуры нефти по длине трубопровода в зависимости от состава сведений, заданных при постановке задачи, следует решать в соответствии с указаниями, приведенными в пунктах 3.4., 3.7. или 3.8.

3.10. При наличии на перегоне между тепловыми станицами одной или нескольких насосных станций необходимо учитывать повышение температуры нефти в насосных агрегатах:

$$\Delta t_{nc} = \frac{\varrho \bar{K} C_m R^5 \omega^3}{C_{dp} Q} \quad (18)$$

а) коэффициент краинки покровных дисков роторов магистральных насосов определяется эмпирической формулой:

$$\bar{K} = 1,015 + 0,000382 n_s \quad (19)$$

б) коэффициент трения См покровных дисков ротора с перекачиваемой жидкостью определяется по nomogramme (рис. I);

в) угловая скорость вращения ротора насоса рассчитывается по формуле:

$$\omega = \frac{\pi O}{30} \quad (20)$$

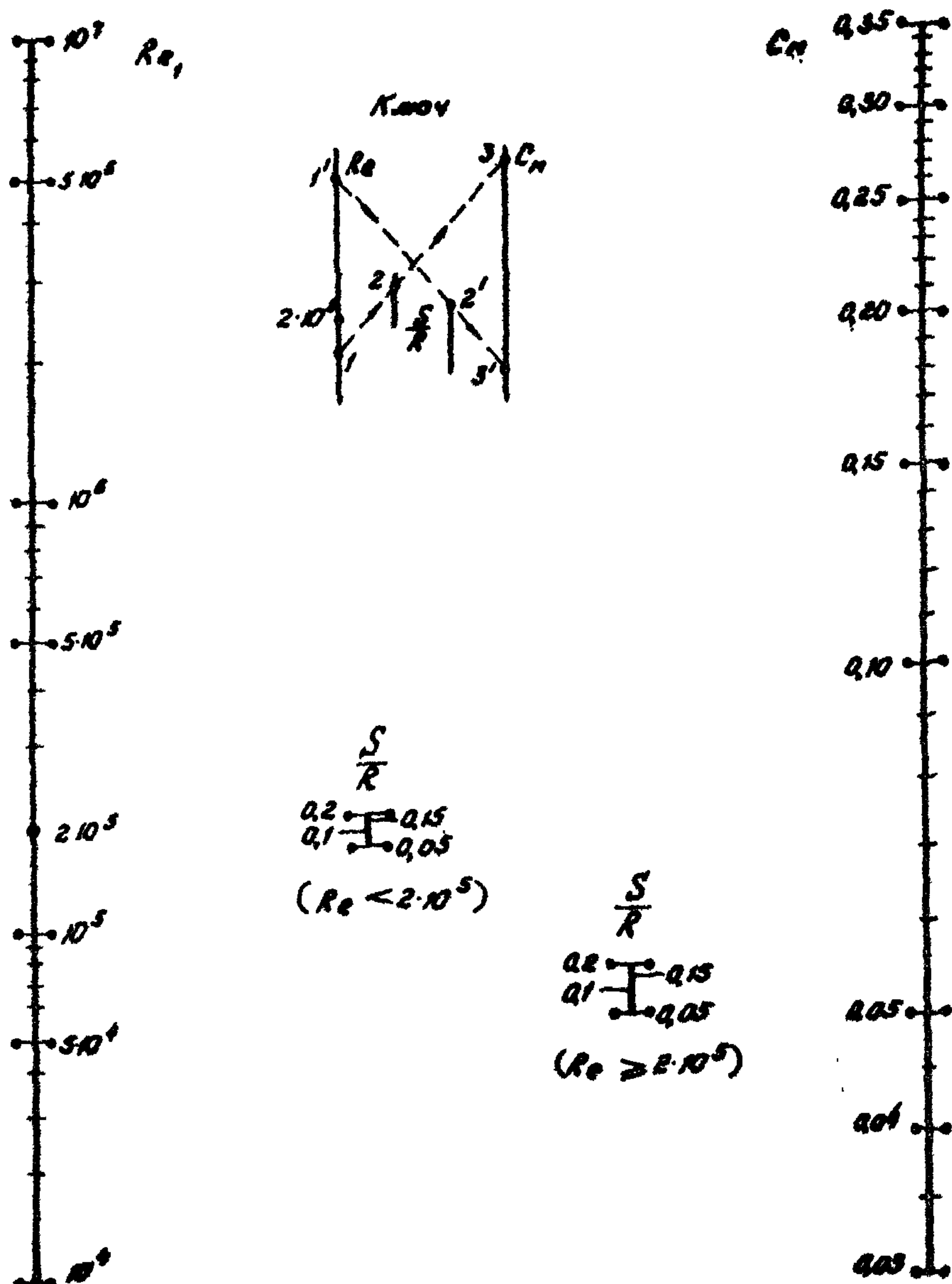


Рис. I Номограмма для определения коэффициента трения рабочего колеса центробежного насоса

г) при последовательном соединении нескольких насосов на каждой станине повышение температуры потока в них определяется как сумма подогрева в каждом насосе.

3.II. При наличии на перегоне дросселирующих органов необходимо учитывать повышение температуры нефти в них. Подогрев жидкости дросселирующих органах определяется по уравнению:

$$\Delta t_{gp} = \frac{0.924 \cdot 10^{-3} \cdot \zeta \cdot \Delta P \cdot d}{0.403 + 8.1 \cdot 10^{-3} \cdot t_{0x}}, \quad (21)$$

где  $\zeta = 1 + 0.3 \frac{\rho_1 - 1}{\rho_2}$  - коэффициент восстановления;  
 $d = \sqrt{\frac{\rho_1}{\rho_2}} \cdot 100$  - параметр, зависящий от плотности нефти.

Повышение температуры жидкости при прохождении дроссельного устройства определяется по nomogramme (рис.2).

3.I2. В зависимости от условий перекачки температура жидкости по длине трубопровода может уменьшаться, возрастать и оставаться постоянной.

При  $t_n > t_o$  температура нефти будет падать, если

$$\Pi_n < I \quad (22)$$

возрастать, если

$$\Pi_n > I \quad (23)$$

и оставаться постоянной, если

$$\Pi_n = I \quad (24)$$

Воздействие сбросов, подкачек, изменения диаметра трубопровода (вотяки, думпки), теплофизических свойств грунта и других подобных факторов величина  $\Pi$  на некоторых участках трубопровода может существенно изменяться. Поэтому при выполнении теплового расчета на таких участках следует следить за реализацией условий (22)  $\div$  (24).

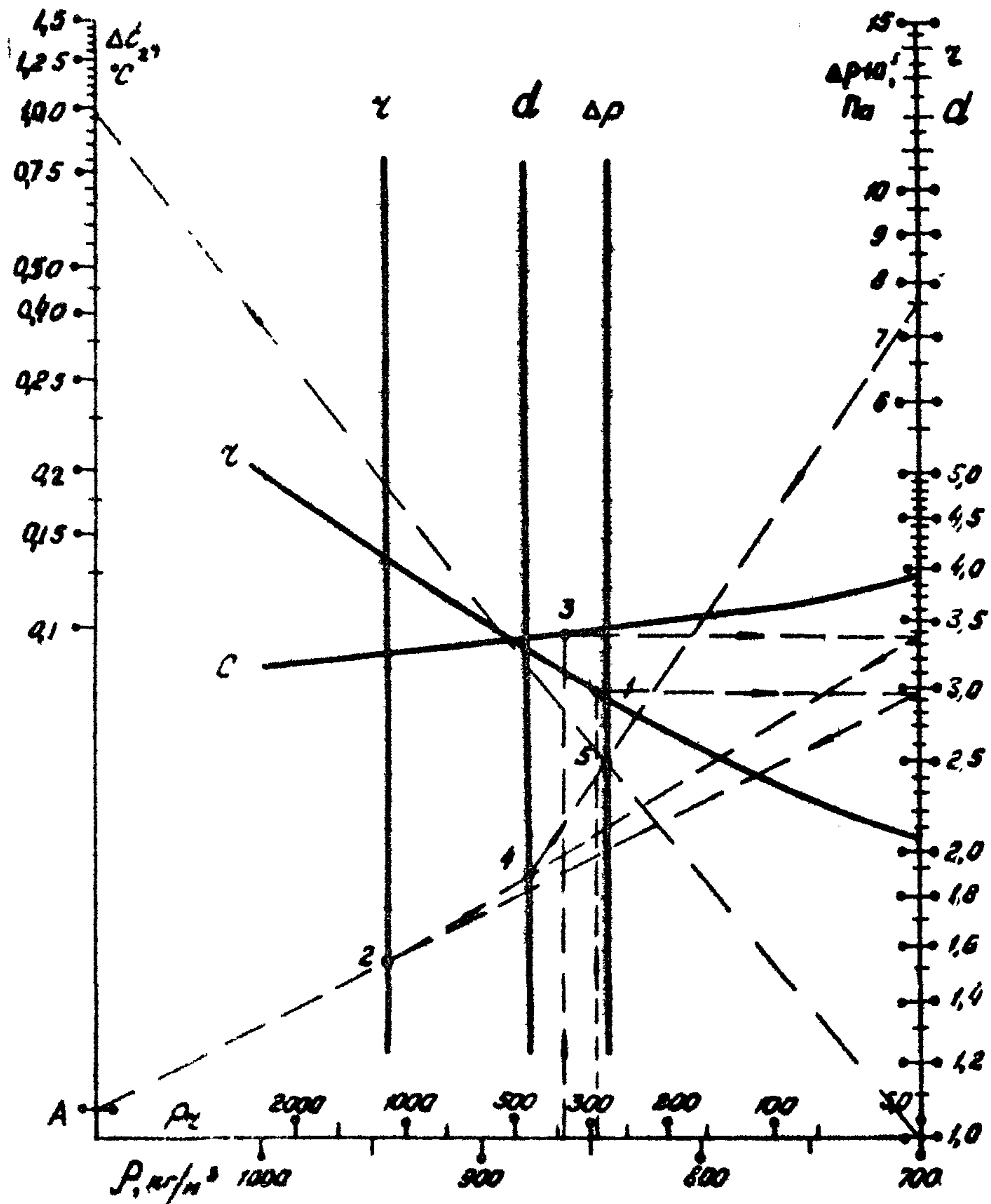


Рис.2 Номограмма для определения подогрева  
жидкости в дроссельных органах

Возможны случаи, при которых характер изменения температуры по длине остается иным.

#### 4. ГИДРАУЛИЧЕСКИЙ РАСЧЕТ НЕФТЕПРОВОДА ПРИ УСТАНОВИШЕМСЯ РЕЖИМЕ ПЕРЕКАЧКИ НЕФТИ

4.1. Гидравлический расчет нефтепровода выполняется на основе теплового расчета.

4.2. Гидравлический расчет нефтепровода следует выполнять по участкам, рассчитывая потери на каждом из участков как для изотермического трубопровода с температурой  $t_j$ . При этом длина участка должна рассчитываться по формулам типа (I3) ÷ (I4).

4.3. Потери напора на участке следует рассчитывать по формуле Дарси:

$$h_j = \xi_j \frac{x_j}{D_j} \frac{V_j^2}{2g} \Delta_t \quad (25)$$

Коэффициент Дарси  $\xi$  в формуле (25) рассчитывается в соответствии с указаниями, приведенными в Приложении 4; поправка на неизотермичность в сечении  $\Delta_t$  – по указаниям, приведенным в Приложении 5.

4.4. Потери напора на перегоне между тепловыми станциями необходимо находить по формуле:

$$h = \sum_j^n h_j + \sum_{n+1}^{n+m} h_{n+j} \quad (26)$$

4.5. Некомпенсированное давление на перегоне между пунктами подогрева необходимо рассчитывать по известному давлению, пользуясь уравнениями баланса удалных энергий:

$$Z_N + \frac{\rho_n}{\rho_n g} + \gamma \frac{V_n^2}{2g} = Z_K + \frac{\rho_n}{\rho_n g} + \gamma \frac{V_n^2}{2g} + h \quad (27)$$

4.6. Трубопроводы большой протяженности при гидравлическом расчете следует делить на две зоны: нестабилизированную и стабилизированную.

Нестабилизированной зоной является начальный участок трубопровода, на котором происходит охлаждение нефти в трубопроводе или ее разогрев за счет тепла трения.

Стабилизированной зоной является последующий участок трубопровода, изменение температуры на котором не превышает прилитого шага разбиения по температуре.

4.7. Температура потока в стабилизированной зоне стремится к значению:

$$t_c = t_0 + \frac{q Mi}{K \pi D} \quad (28)$$

4.8. Расчет потерь напора и неизвестного давления в нестабилизированной зоне необходимо производить по указанным, изложенным в пунктах 4.3. ÷ 4.5.

4.9. Расчет потерь напора и неизвестного давления в стабилизированной зоне следует вести как для обычного "изотермического" трубопровода, по которому перекачивается нефть с температурой  $t_c$ . При этом следует обязательно вводить поправку  $\Delta_t$  на неизотермичность потока нефти по сечению трубопровода.

Пример выполнения гидравлического расчета приведен в Приложении 8.

## 5. ПРИБЛИЖЕННЫЕ ТЕМПОГИДРАВИЧСКИЕ РАСЧЕТЫ НЕФТЕПРОВОДОВ

5.1. Все задачи, изложенные в п.1.3, следует решать, находя распределение температуры по длине трубопровода.

5.2. Критерий применимости приближенных формул темпогидравлического расчета является относительная ошибка гидравлического расчета  $\delta_r$ , величина которой не должна превышать 10%.

5.3. В общем случае тепловой расчет следует вести по формуле (10).

5.4. Тепловой расчет с учетом тепла трения следует вести по формуле Л.С.Лейбензона, представленной через параметр дисипации и обобщение температуры:

$$T = \Pi_A \exp(-\bar{T}) + [T_h - \Pi_A \exp(-\bar{T})] \exp(-\gamma_a), \quad (29)$$

где:  $\bar{T} = \frac{T_h}{\gamma_a} \cdot [1 - \exp(-\gamma_a)]$  или

$$\bar{T} = 0,5(T_h + T_{kk})$$

Область применимости этой формулы следует находить по nomogramme (рис.3), построенной при  $\delta_r = \pm 0,1$ .

Среднюю температуру потока с учетом тепла трения следует определять по формуле:

$$T_{cp} = \frac{T_h - \Pi_A \exp(-\bar{T})}{\gamma_a} [1 - \exp(-\gamma_a)] + \Pi_A \exp(-\bar{T}) \quad (30)$$

5.5. В тех случаях, когда теплое трение можно пренебречь ( $\Pi_A \rightarrow 0$ ), следует вести расчеты по формуле В.Г.Мухса:

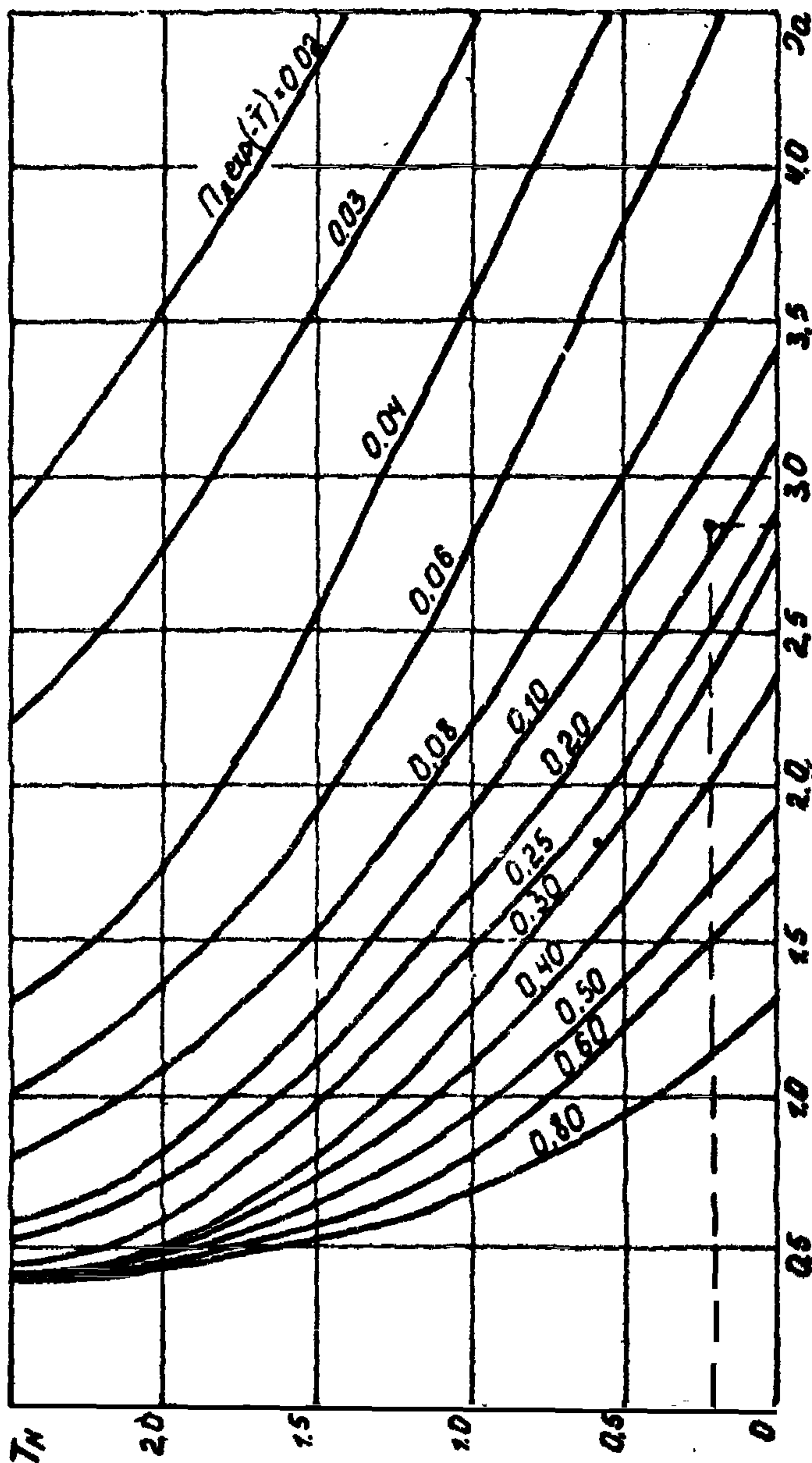


Рис.3 Номограмма для определения области применимости формулы /29/

$$T = T_n \exp(-\gamma_a) \quad (31)$$

Область применения этой формулы необходимо определять по номограмме (рис.4). При построении номограммы относительная погрешность гидравлического расчета принята равной 0,1.

5.6. Термовые расчеты с учетом тепла трения и переменного коэффициента теплоизменности осуществляются по формуле:

$$T = P_n \exp(-\bar{T}) - \mu m \frac{\theta}{a} + [T_n - P_n \exp(-\bar{T}) + \mu m \frac{\theta}{a}] \exp(-\gamma_{a,n}) \quad (32)$$

средняя температура определяется по формуле:

$$T_{cp} = \frac{T_n - P_n \exp(-\bar{T}) + \mu m \frac{\theta}{a}}{\gamma_{a,n}} [1 - \exp(-\gamma_{a,n})] + P_n \exp(-\bar{T}) - \mu m \frac{\theta}{a} \quad (33)$$

Коэффициенты  $\alpha, \beta, \gamma$  в формулах (32) и (33) определяются расчетным путем (см. приложения 3, 8).

Область применимости формулы (32) следует определять по номограмме (рис.5). При построении номограммы относительная погрешность гидравлического расчета принята  $\delta_t = 0,01$ .

5.7. Нефтепроводы, перекачивающие нефти с высоким содержанием парафина, следует рассчитывать по формуле

$$T = P_n \exp(-\bar{T}) - \mu m \frac{\theta}{a} + \\ + [T_n - P_n \exp(-\bar{T}) + \mu m \frac{\theta}{a}] \exp \left[ \frac{-\alpha \pi \Delta x}{M(C_p + \gamma \frac{E}{t_{ns} - t_i})} \right] \quad (34)$$

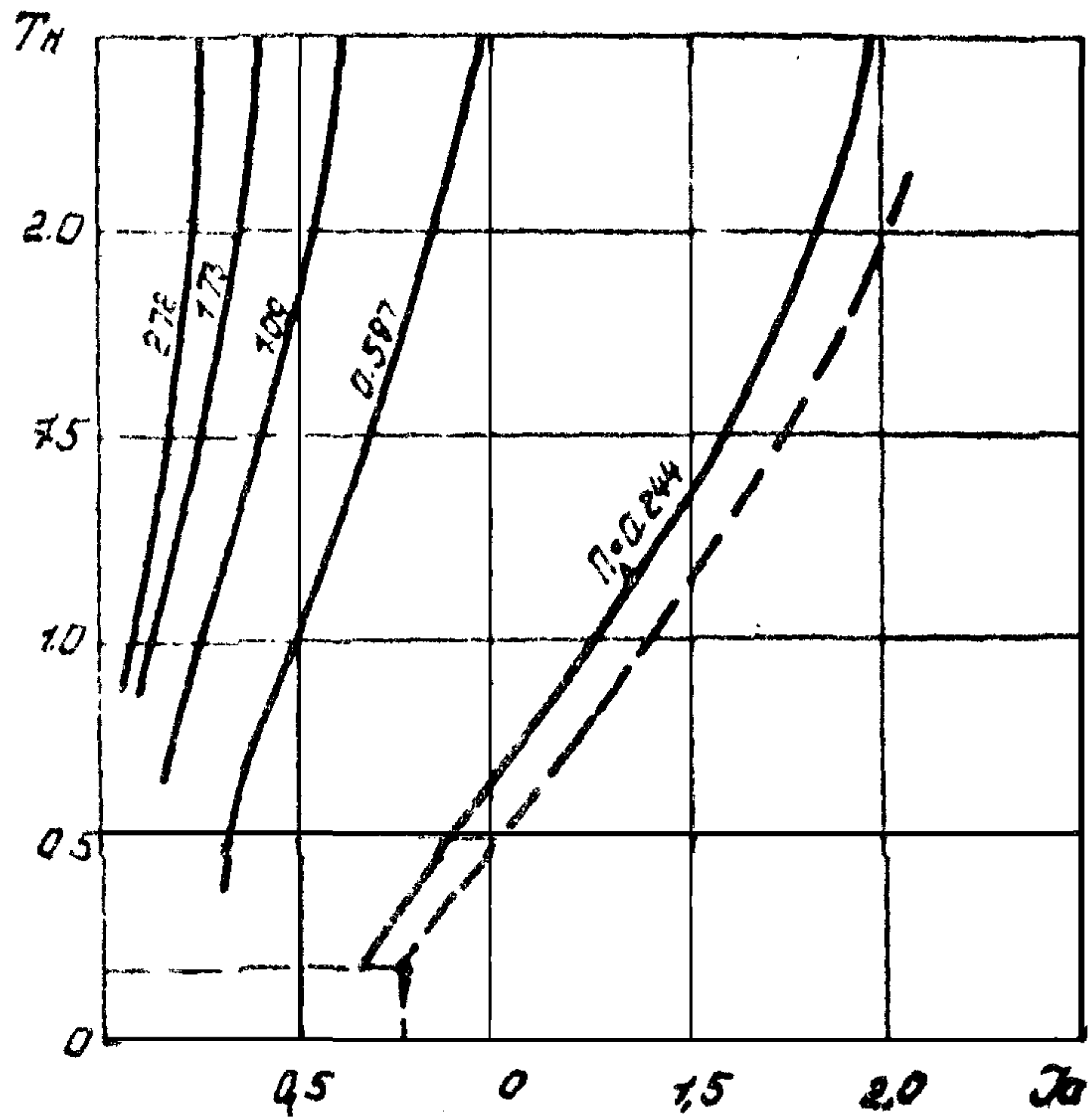


Рис.4 К определению области использования  
формулы В.Г.Шухова

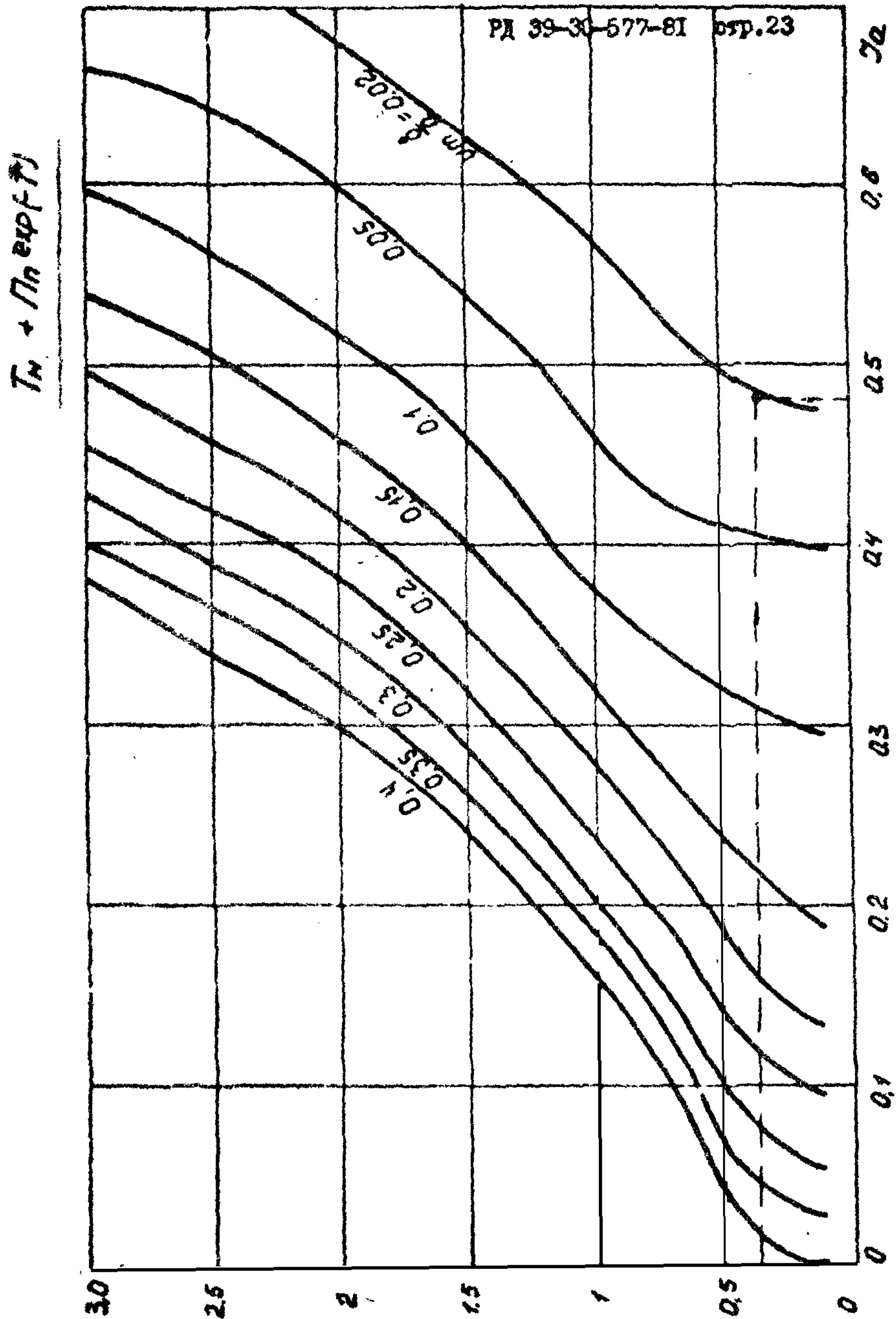


Рис.5 Номограмма для определения области  
 применимости формулы /32/

Средняя по длине температура потока рассчитывается по формуле:

$$T_{cp} = \frac{[T_n - \Pi_n \exp(-\bar{T}) + \text{им} \frac{\theta}{a}] \cdot M(C_p + \frac{\lambda \epsilon C_p}{T_{on} - t_{on}})}{a \pi D x} \times \\ \times \left\{ 1 - \exp \left[ \frac{-a \pi D x}{M(C_p + \frac{\lambda \epsilon C_p}{T_{on} - t_{on}})} \right] \right\} + \Pi_n \exp(-\bar{T}) - \text{им} \frac{\theta}{a} \quad (35)$$

$$\times \left\{ 1 - \exp \left[ \frac{-a \pi D x}{M(C_p + \frac{\lambda \epsilon C_p}{T_{on} - t_{on}})} \right] \right\} + \Pi_n \exp(-\bar{T}) - \text{им} \frac{\theta}{a}$$

Необходимость учета тепла кристаллизации парафина определяется по nomogramme (рис.6), построенной при  $\delta_r = \pm 0,01$ .

5.8. Нефтепроводы, проходящие через несколько климатических полос, следует рассчитывать по формуле, учитывающей переменную по длине температуру окружающей среды:

$$T = \Pi_n \exp(-\bar{T}) - \frac{\text{им}(\theta + T_{on} - T_{off})}{a \gamma_{an}} + \\ + \left\{ \bar{T}_n - \Pi_n \exp(-\bar{T}) + \frac{\text{им}[\theta + (T_{on} - T_{off})(\frac{x}{L_0} - \gamma_{an}')] \exp(-\gamma_{an})} \right\}, \quad (36)$$

$$\text{где } \bar{T}_n = \text{им}(t_n - t_{on}); \quad \bar{T} = \text{им}(t - t_{on})$$

Область применения формулы (36) необходимо определить по nomogramme (рис.7), построенной при  $\delta_r = \pm 0,01$ .

Среднюю температуру перекачиваемой нефти следует определять по формуле:

$$T_{cp} = \left[ \Pi_n \exp(-\bar{T}) - \text{им} \frac{\theta}{a} + \frac{T_{on} - T_{off}}{a \gamma_{an}} \right] \left[ 1 + \frac{1 - \exp(-\gamma_{an})}{\gamma_{an}} \right] + \\ + \frac{\bar{T}_n [1 - \exp(-\gamma_{an})]}{\gamma_{an}} - \frac{(T_{on} - T_{off}) L_0}{2a}, \quad (37)$$

$$\text{где } \bar{T}_{cp} = \text{им}(t_{cp} - t_{on}).$$

5.9. Для предотвращения повышения потерь нефти из-за холода в резервуарах и технологических сооружений при их эксплуатации необходимо соблюдать условие:

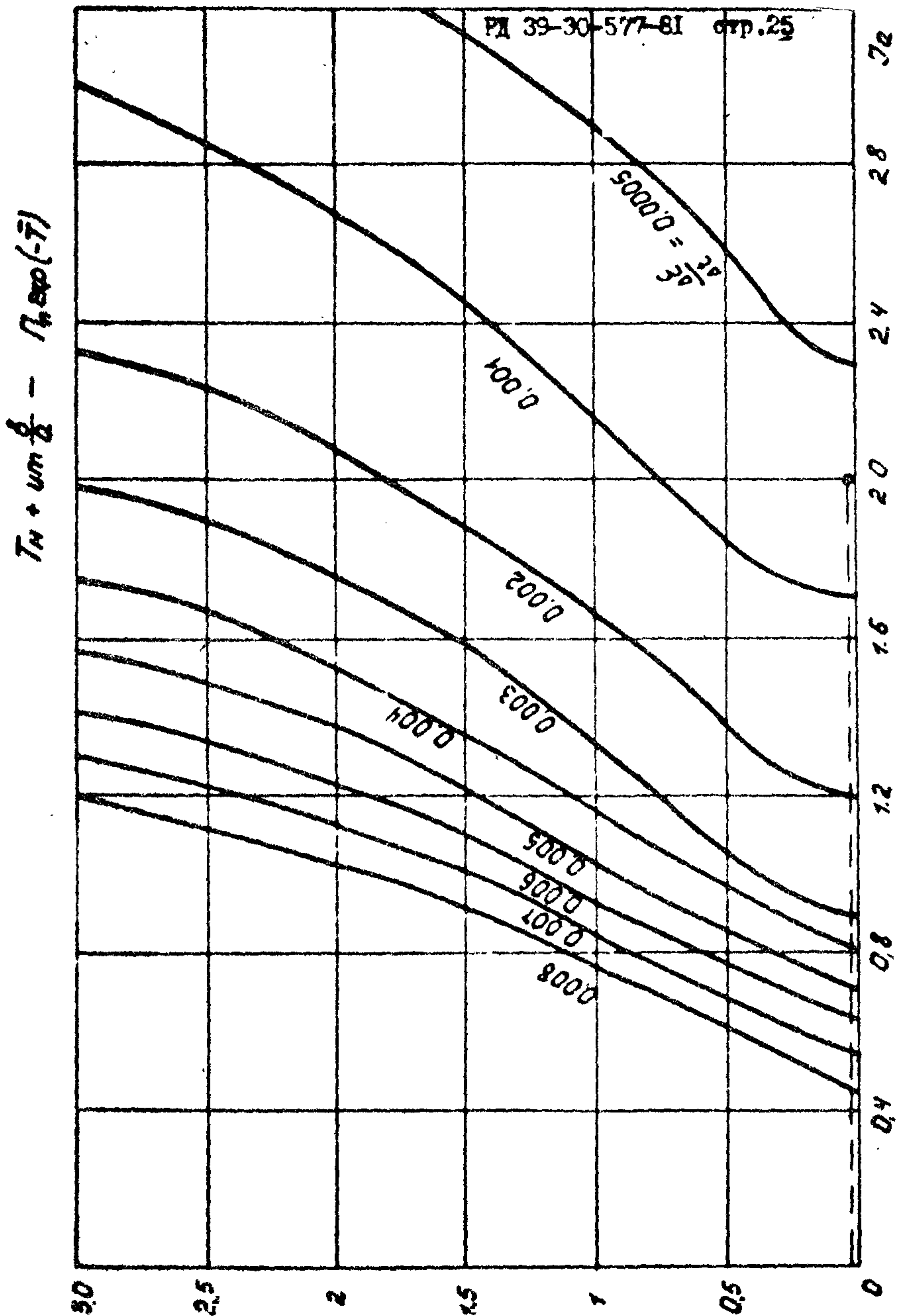


Рис.6 Номограма для определения области применимости формулы /34/

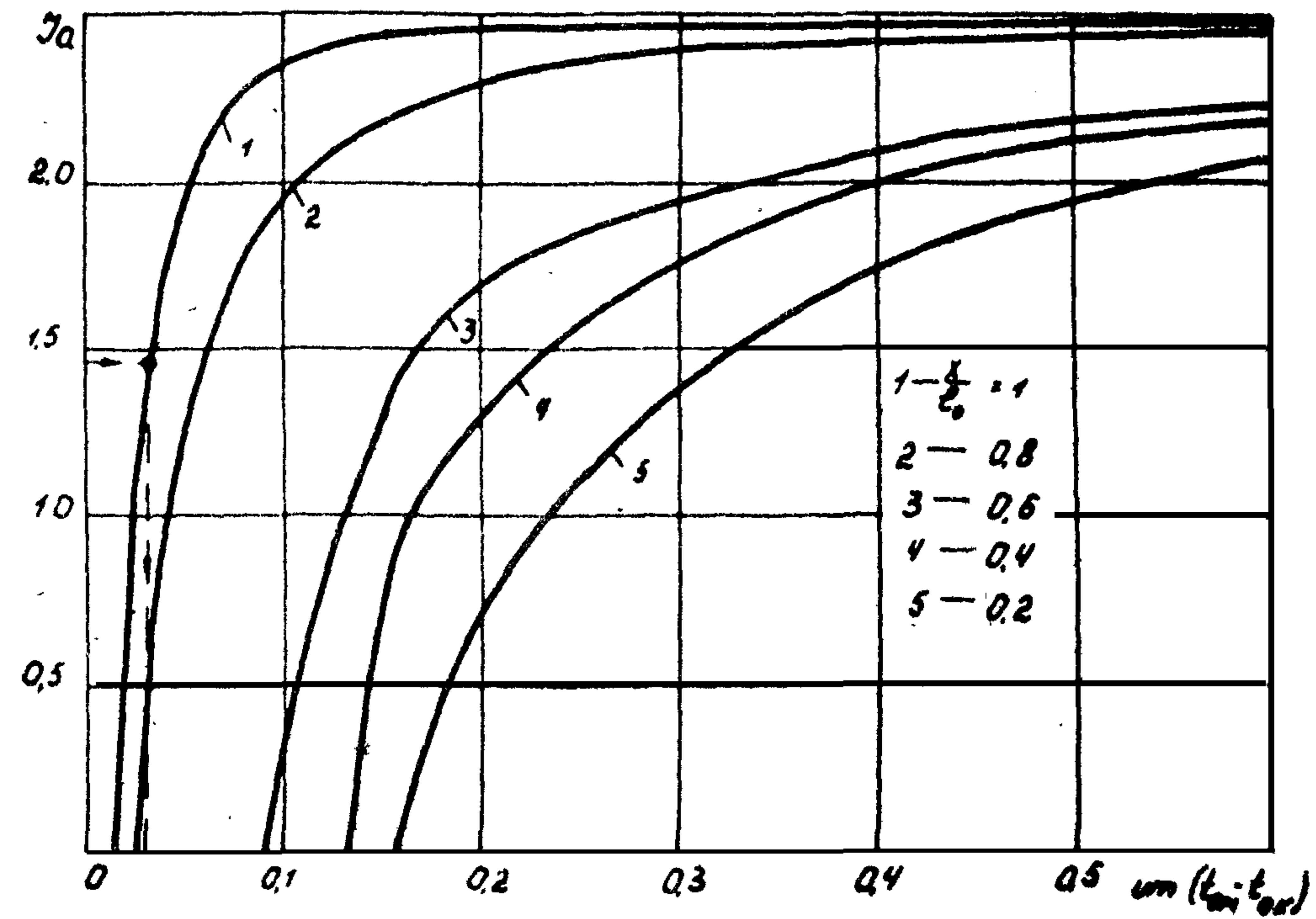


Рис.7 Номограмма для определения области применимости  
формулы /36/

$$t_n \leq t_{nn} \quad (38)$$

Критическая конечная температура ( $t_{nn}$ ) определяется из уравнения:

$$t_{nn} = \frac{1/t_{nn} t_n}{1/t_{nn} - t_n \ln \frac{P_{nn}}{P_{un}}} \quad (39)$$

Температура начала кипения перекачиваемой нефти ( $t_{nn}$ ) определяется по ГОСТ 2177-66 [2].

Нормативное давление насыщенных паров (Рун) при температуре нефти в конечном пункте (пункте сдачи) должно быть не более 66650Па (600 мм.рт.ст.) по ГОСТ 9965-76 [3].

Давление насыщенных паров (Рун) при температуре в начале трубопровода следует определять по ГОСТ 1756-52 и ГОСТ 9965-76 [2, 3].

5.10. Максимально допустимый расход нефти следует определять при максимальной температуре грунта в теплый период года и сравнивать его с оптимальным расходом нефти ( $M$ ), определенным по ВСН-77 [4] (Приложение 2, таблица П-5).

Максимально допустимый расход нефти определяется на основе формулы (29):

$$M_{m,i}^{**} = \frac{T_n - T_{nn} \exp\left(\frac{A_i}{M_{mi}}\right)}{\left[1 - \exp\left(\frac{A_i}{M_{mi}}\right)\right] A_i \exp[-0.5 \delta (T_n + T_{nn})]} , \quad (40)$$

где  $T_{nn} = \text{им}(t_{nn} - t_{n, \text{max}})$ ;  $A_i = \frac{q_{im} \sqrt{V_0}}{K \pi D^{(e-m)/2} (\rho_0)^{e-m}}$

$$A_i = \frac{K \pi D e}{C_p}$$

Уравнение (40) решается методом итерации на ЭВМ или графоаналитическим методом.

При выборе расчетной производительности следует руководствоваться условием:

если  $M_m \geq M$ , то расчеты следует вести по  $M$  [4],

если  $M_m < M$ , то расчеты необходимо проводить по расходу, не превышающему  $M_m$  (см. приложение 8).

5.11. Гидравлический расчет проводится на основании теплового расчета. При этом потери напора рассчитываются по средней температуре на перегоне, определяемой по формулам (30), (33), (35), (37).

Область применения приближенного гидравлического расчета находится по nomogramme (рис.8), построенной при  $\delta_r = \pm 5\%$ .

5.12. Расстановка насосных станций производится в соответствии с ВСН 17-77 [4].

5.13. После гидравлического расчета следует проводить уточненный тепловой расчет с учетом подогрева нефти на каждой НПС для летнего периода с целью нахождения температуры нефти в конце нефтепровода. В случае повышения величины  $t_{\text{ж}}$  следует предусмотреть мероприятия по снижению подогрева нефти на НПС или снижение производительности в летний период.

## 6. РАСЧЕТ ОПТИМАЛЬНЫХ ПАРАМЕТРОВ ТРУБОПРОВОДОВ С УЧЕТОМ ТЕКУЩАЯ ТРЕНИЯ

6.1. Оптимальные параметры трубопроводов должны соответствовать минимуму приведенных годовых расходов:

$$\rho = \vartheta + \varepsilon_n N \quad (42)$$

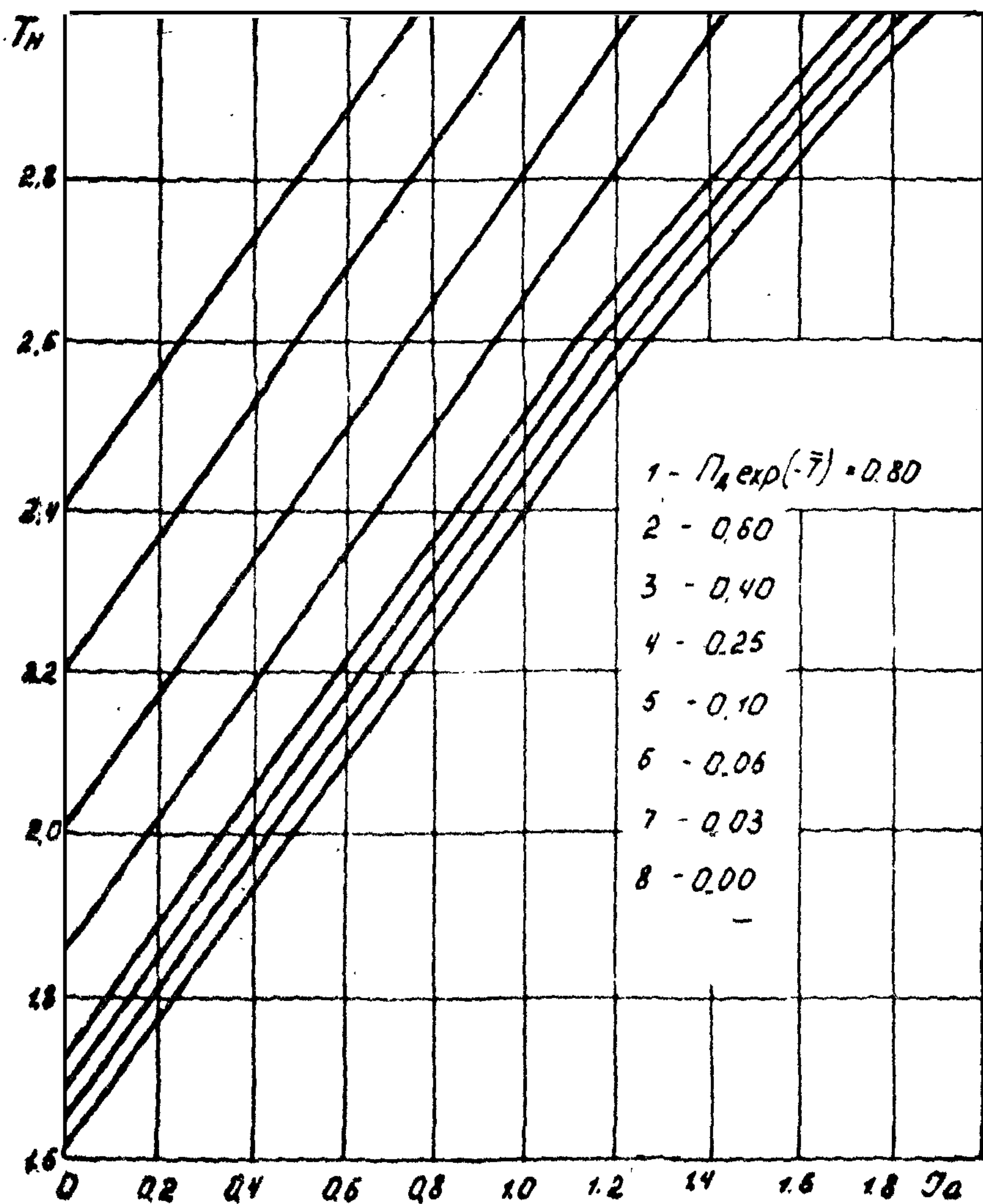


Рис.8 Номограмма для определения области применимости приближенного гидравлического расчета

6.2. Оптимальные параметры нефте- и продуктопроводов следует определять на основе сравнивания вариантов в следующей последовательности:

- а) по [1] в соответствии с заданным годовым объемом перекачки находим ориентировочное значение диаметра;
- б) выбираем три-четыре ближайших значения диаметра по СНиП II-45-75 [7];
- в) для каждого диаметра отдельно расчитываем оптимальные величины начальной и конечной температуры, пользуясь обобщенными принципами В.С.Иблонского;
- г) в соответствии с найденными оптимальными температурами для каждого диаметра отдельно производим тепловой, гидравлический и механический расчеты, пользуясь рекомендациями, приведенными в настоящей Методике;
- д) находим число насосных и тепловых станций в каждом из рассматриваемых вариантов;
- е) рассчитываем капитальные вложения, эксплуатационные затраты и приведенные годовые расходы для каждого из вариантов;
- ж) сравнивая варианты по приведенным расходам, выбираем вариант с наименьшими приведенными расходами;
- з) в выбранном варианте уточняем, если нужно, тепловой, гидравлический и механический расчеты, а также расположение станций, после чего расчет считаем законченным.

Если приведенные годовые расходы по двум вариантам близки, следует использовать для выбора варианта дополнительные критерии оптимальности (металлоемкость, надежность, минимум обслуживаемого персонала и т.п.).

6.3. В аналитическом виде обобщенный принцип В.С.Яблонского записывается так:

$$\frac{2Mi_n}{\eta_0}S_0 + \frac{C_{sp} \cdot KTD(t_n - t_0)S_r}{\eta_r} - \frac{i_n \cdot 2MC_{sp}}{C_n} S_r - \frac{C_{sp} \Delta t_{max} \eta_0}{\eta_r} S_r = \\ = \frac{2Mi_n}{\eta_0}S_0 + \frac{C_{sp} \cdot KTD(t_n - t_0)S_r}{\eta_r} - \frac{i_n \cdot 2MC_{sp}}{C_{sp}} S_r - \frac{C_{sp} \Delta t_{max} \eta_0}{\eta_r} S_r \quad (43)$$

6.4. Определение оптимальной температуры подогрева в соответствии с обобщенным принципом В.С.Яблонского необходимо производить графоаналитическим методом. Для этого в координатах "S-t" следует построить график функции:

$$S = \frac{2Mi}{\eta_0}S_0 + \frac{KTD(t - t_0)}{\eta_r}S_r - \frac{i \cdot 2M}{\eta}S_r - \frac{C_{sp} \Delta t_{max} \eta_0}{\eta_r}S_r \quad (44)$$

при различных температурах (рис.9). В общем случае этот график будет иметь разрыв, соответствующий переходу турбулентного режима течения в ламинарный.

По оси ординат вниз необходимо откладывать начальную температуру нефти  $t_n$ , а по оси абсцисс - соответствующую ей конечную температуру  $t_r$ . Так как величина конечной температуры зависит не только от начальной температуры, но и от длины перегона между тепловыми станциями, оптимальное значение которой нам неизвестно, во все вычисления ведем, задаваясь тремя-четырьмя значениями длины перегона. Расчет конечной температуры при известных начальной температуре и длине перегона следует производить по формуле (8).

Рассчитав  $t_n$ , в нижнем квадранте следует провести линии, отображающие различные значения  $t_s$  и соответствующие им значения  $t_x$ . Затем необходимо построить прямоугольник ( $abcd$ ) со сторонами, параллельными осям координат так, чтобы две вершины этого прямоугольника лежали на кривой  $S(t)$ , а две другие - на линиях начальной и конечной температур. Отсекаемые прямоугольником на оси абсцисс отрезки будут соответствовать оптимальным начальной и конечной температурам при данной длине перегона:

$$t \rightarrow t_n, t_{sc} \rightarrow t_x.$$

Если функция  $S(t)$  не имеет минимума краев  $t_*$ , подогрев не выгоден.

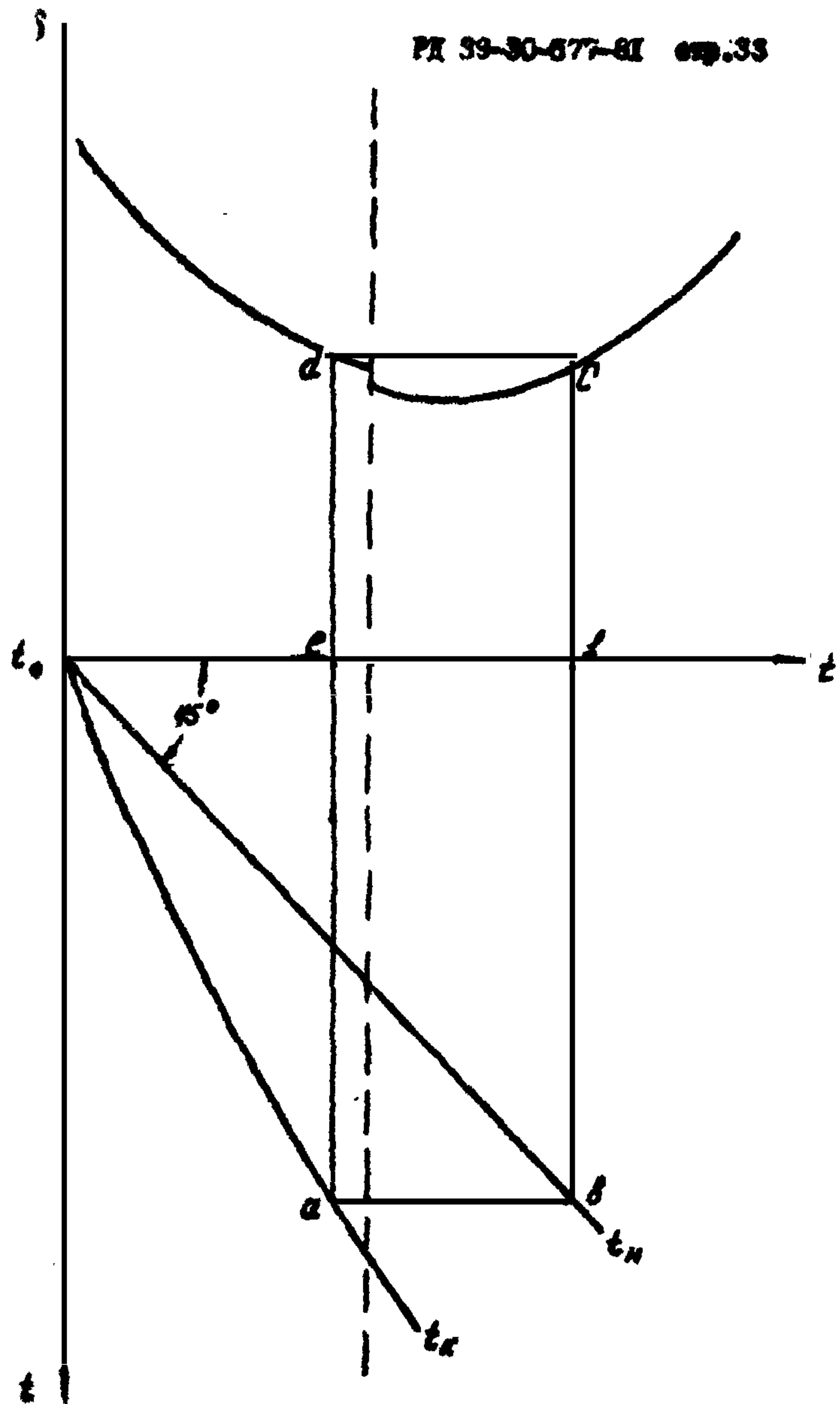


Рис.9 К определению оптимальной температуры подогрева

## Приложение I.

## УСЛОВНЫЕ ОБОЗНАЧЕНИЯ

- Индексы: гр - параметр относится к грунту ;  
 ни,ки - параметр относится к началу и концу нарафикации ;  
 к - параметр относится к конечному сечению ;  
 и - параметр относится к изолии ;  
 кон - параметр относится к явлению конвекции ;  
 вх - параметр относится к входу жидкости в насос ;  
 кр - критическое значение ;  
 и - параметр относится к переменному коэффициенту тепло-  
 передачи ;  
 м - параметр имеет максимальное значение ;  
 др - параметр относится к дросселированию ;  
 дуч - параметр относится к явлению дученускания ;  
 и - параметр относится к начальному сечению ;  
 наруж - параметр относится к наружной поверхности трубопро-  
 вода ;  
 \* - параметр, взятый при температуре, равной  $0,5(t_s + t_w)$  ;  
 о - параметр берется при температуре  $t_o$  ;  
 д - диаметр относится к толще трещи ;  
 кр - кредельное значение ;  
 си - параметр относится к снеговому покрову ;  
 ср - среднее значение ;  
 т,ж - турбулентный, ламинарный режим ;  
 с - параметр относится к стабилизированной зоне ;  
 f - параметр берется при средней температуре потока ;  
 w - параметр берется при средней температуре стени  
 трубопровода ;

- $\gamma$  - параметр относится к гидравлическому сопротивлению ;  
 $\beta_0$  - параметр берется при  $15^{\circ}\text{C}$  или другой указанной  $t$  ;  
 $\zeta$  - параметр берется при температуре  $\xi$  ;  
 $\alpha_k$  - параметр относится к критической конечной температуре нефти ;  
 $\eta_k$  - параметр относится к температуре начала кипения нефти ;  
 $u_k$  и  $u_0$  - параметры относятся к давлению насыщенных паров нефти при конечной и начальной температурах потока ;  
 $i$  - порядковый номер участка при численном расчете ;  
 $j$  - нумерации местных сопротивлений ;  
 $\mu_0$  - параметр относится к вязкости ;  
 $\phi$  - параметр относится к эффективному значению ;  
 $\tau$  - параметр относится к пункту подогрева ;

Параметры и величины :

- $D$  - внутренний диаметр трубопровода, м ;  
 $M$  - массовая производительность перекачки, кг/с ;  
 $H$  - потребный для перекачки напор, м ;  
 $H_{\text{доп}}$  - допустимый напор насосной станции, м ;  
 $K_{\text{ст}}$  - стоимость сооружения насосной станции, руб. ;  
 $L$  - длина трубопровода, м ;  
 $\ell$  - длина между пунктами подогрева, м ;  
 $W$  - влажность грунта, % ;  
 $f_c$  - верхняя граница зоны гладкого трения

$$Re' = \frac{15D}{K_0}$$

$Re'$  - верхняя граница зоны смешанного трения

$$Re'' = \frac{560D}{K_0}$$

$Q$  - объемная производительность перекачки, м<sup>3</sup>/с ;

$S$  - затраты на подогрев и перекачку в обобщенном выражении В.С.Деболовского, руб/кВт.ч ;

$q_e$  - мощность внутренних источников тепла, Вт/м<sup>3</sup>;

$T$  - безразмерная температура жидкости

$$T = ut/(t - t_0)$$

$\Delta$  - безразмерная абсолютная погрешность теплового расчета

$$\Delta = ut\Delta t$$

$\Delta t$  - величина абсолютной погрешности теплового расчета

в °С (К), шаг разбиения в °С (К);

$m, m_d, c, c_d, c_s$  - мощность внутренних источников тепла;

$a, a_d, b, b_d, n, n_d$  - постоянные коэффициенты;

$\gamma$  - поправка на неизотермичность по радиусу трубопровода;

$N$  - капитальные вложения, руб.;

$P$  - приведенные затраты на сооружение и эксплуатацию трубопровода, руб/год;

$C_{xp}, C_p$  - эффективная и массовая весовая теплоемкость, кДж/кг°С;

$Re_r$  - число Рейнольдса для ротора насоса

$$Re_r = \frac{R^2 \omega}{\nu}$$

$exp(e)$  - основание натуральных логарифмов;

$g$  - ускорение силы тяжести, м/сек<sup>2</sup>;

$h$  - потери напора на трение, м;

$L$  - гидравлический уклон;

$K$  - эквивалентная перехватость нефтепроводных труб;

$X$  - переменная длина расчетного участка трубопровода, м;

$n(\beta)$  - коэффициент (показатель) режима трения по

Л.С.Лейбензону;

$\Omega$  - число оборотов ротора насоса, об/мин;

$S_t$  - стоимость тепловой энергии руб/Вт;

$P$  - давление, Па;

$S_e$  - стоимость единицы потребляемой электротехники, руб/кВт

- $\mathcal{Z}$  - годовые эксплуатационные затраты, руб/год ;
- $t$  - температура в рассматриваемом сечении трубопровода  $^{\circ}\text{C}$ , ( $\text{K}$ ) ;
- $\mu$  - коэффициент крутизны вискограммы жидкости,  $\text{J}/^{\circ}\text{C}$  ;
- $V$  - средняя скорость ветра, м/с ;
- $\lambda$  - коэффициент теплоотдачи,  $\text{Вт}/\text{м}^2\text{ }^{\circ}\text{C}$  ;
- $\lambda_1$  - коэффициент теплоотдачи от грунта в воздух  $\text{Вт}/\text{м}^2\text{ }^{\circ}\text{C}$  ;
- $\alpha_{\text{нр}}$  - нормативные годовые отчисления на текущий ремонт и амортизацию в долих единицах ;
- $\alpha_t$  - температурная поправка на плотность,  ${}^{\circ}\text{K}/^{\circ}\text{C}$  ;
- $\beta_0$  - объемный коэффициент температурного расширения,  $1/\text{c}$  ;
- $\delta_r$  - величина относительной погрешности гидравлического расчета ,
- $\xi$  - коэффициент Дарси ;
- $\varepsilon$  - количество парожига, выделившегося из нефти в интервале температур  $\Delta t$  ;
- $\varepsilon_n$  - нормативный коэффициент эффективности капитальныхложений ;
- $R_p$  - к.п.д. пункта подогрева ,
- $R_a$  - к.п.д. насосного агрегата ;
- $V$  - средняя скорость движения жидкости в рассматриваемом сечении трубопровода, м/с ;
- $Z$  - нивелирная отметка, м ;
- $\lambda$  - теплопроводность,  $\text{Вт}/\text{м }^{\circ}\text{C}$  ;
- $\nu$  - кинематическая вязкость,  $\text{м}^2/\text{с}$  ;
- $\rho$  - плотность,  $\text{кг}/\text{м}^3$  ;
- $\Delta$  - расхождение между пунктами замера температуры грунта, м ;
- $\psi$  - коэффициент Энгиса ( $\psi = 1,13 \div 1,15$ ) ;

$\chi$  - полный коэффициент теплопередачи от жидкости в окружающую среду, Вт/м<sup>2</sup>°С ;

$\gamma_{350}$  - время работы трубопровода, сутки/год ;

$t_{on}(t_{off})$  - начальная (конечная) температура грунта в неизмененном тепловом состоянии на участке длиной  $L$ , °С ;

$\Delta t_{dp}$  - повышение температуры нефти при прохождении через дросселирующий орган, °С ;

$C_1, C_2, B_1, B_2$  - постоянные эмпирические коэффициенты, полученные путем обработки кривой кристаллизации парафина ;

$R$  - радиус ротора насоса, м ;

$\bar{K}$  - коэффициент кривизны покрытий дисков ротора ;

$S_n$  - площадь термограммы, м<sup>2</sup> ;

$C_m$  - коэффициент трения покрытий дисков ротора о перекачиваемой жидкостью ;

$M_n$  - масштаб пересчета ;

$\omega$  - угловая скорость вращения ротора, л/рад ;

$P_s$  - коэффициент быстроходности насоса ;

$\zeta$  - коэффициент восстановления ;

$\Delta P$  - перепад давления на дроссельном органе, Па ;

$Q, \delta$  - постоянные для данного трубопровода (участка трубопровода) коэффициенты в формуле для переменного коэффициента теплопередачи ;

$C_p$  - содержание парафина в нефти ;

$\frac{dE}{dt}$  - интенсивность кристаллизации парафина из нефти ;

$\lambda^*$  - теплота кристаллизации парафина

$$\lambda^* = (2,26 + 2,30) \cdot 10^5 \text{ дж/кг}$$

$h_0$  - глубина заложения оси трубопровода, м ;

$h'_0$  - приведенная глубина заложения трубопровода, м ;

Критерий:  $\mathcal{S}_c \sim$  число Грасгофа.

$$\mathcal{S}_c = \frac{\rho g D^4 (t_{\infty} - t_0)}{\nu^2} .$$

$\mathcal{J}_{a_p}, \mathcal{J}_a$  - число Яблонского

$$\mathcal{J}_{a_p} = \frac{a \pi D c}{M C_p} ; \quad \mathcal{J}_a = \frac{K_f \pi D c}{M C_p} .$$

$M_i$  - число Нуссельта (безразмерный локальный коэффициент теплоотдачи).

$$Nu = \frac{a h_i D}{\lambda} .$$

$R_b$  - число Прандтля

$$R_b = \frac{\nu \rho C_p}{\lambda} .$$

$Re$  - число Рейнольдса

$$Re = \frac{4 \theta}{\pi D \nu}$$

$E_{Co}$  - число Эжерта

$$E_{Co} = \frac{\nu^2}{C_{dp}(t_s - t_w)}$$

$\Pi_d, \Pi_a$  - параметры, характеризующие тепло трения в трубопроводе

$$\Pi_d = \frac{u_m M i \cdot g}{K_f \pi D} ; \quad \Pi_a = \frac{u_m M i \cdot g}{a \pi D}$$

$P_o$  - параметр Познеранцева

$$P_o = 1 - \frac{2 \theta}{C_p} \cdot \frac{d E}{d t}$$

$\Pi$  - параметр, характеризующий относительную мощность внутренних источников тепла.

$$\Pi = \frac{2 M i + \frac{4}{3} \varphi_i D^2}{K_f D (t - t_0)}$$

## Справочные таблицы

## Приложение 2,

Таблица II-1

Коэффициенты объемного расширения в зависимости от плотности при 20°C.

Плотность кг/м <sup>3</sup>	$\beta$ $1/^\circ\text{C}$	Плотность кг/м <sup>3</sup>	$\beta$ $1/^\circ\text{C}$
	$\beta_0$		$\beta_0$
700÷720	0,001255	860÷880	0,000782
720÷740	0,001183	880÷900	0,000734
740÷760	0,001118	900÷920	0,000688
760÷780	0,001054	920÷940	0,000645
780÷800	0,000995	940÷960	0,000604
800÷820	0,000937	960÷980	0,000564
820÷840	0,000882	980÷1000	0,000526
840÷860	0,000831		

Таблица II-2

Температурная поправка на плотность

Плотность, кг/м <sup>3</sup>	$\Delta_t$	Плотность, кг/м <sup>3</sup>	$\Delta_t$
I	2	3	4
700 ÷ 710	0,897	850 ÷ 860	0,699
710 ÷ 720	0,884	860 ÷ 870	0,686
720 ÷ 730	0,870	870 ÷ 880	0,673
730 ÷ 740	0,857	880 ÷ 890	0,660

## Продолжение таблицы D-2

I	2	3	4
740 ÷ 750	0,844	890 ÷ 900	0,647
750 ÷ 760	0,831	900 ÷ 910	0,633
760 ÷ 770	0,818	910 ÷ 920	0,620
770 ÷ 780	0,805	920 ÷ 930	0,607
780 ÷ 790	0,792	930 ÷ 940	0,594
790 ÷ 800	0,778	940 ÷ 950	0,581
800 ÷ 810	0,765	950 ÷ 960	0,567
810 ÷ 820	0,752	960 ÷ 970	0,554
820 ÷ 830	0,738	970 ÷ 980	0,541
830 ÷ 840	0,725	980 ÷ 990	0,528
840 ÷ 850	0,712	990 ÷ 1000	0,515

## Таблица D-3

Наименование изолационного материала	Объемный вес кг/м <sup>3</sup>	Коэффициент теплопроводности, Вт/м
1	2	3
Асбестовый матрац, заполненный стекловолокном	200	$0,058 + 0,00023 t_{\phi}$
Асбестовый матрац, заполненный вермикулитом	220	$0,0681 + 0,00014 t_{\phi}$
Асбозургит мостичный	650	$0,163 + 0,00059 t_{\phi}$
Асбогермет мостичный	570	$0,128 + 0,00059 t_{\phi}$

	1	2	3
Асбовермикулитовые плиты			
в сегменты	250	$0,081 + 0,00023 t_{\phi}$	
Асбосцементные плиты и сегменты	400	$0,092 + 0,00013 t_{\phi}$	
Вулканические плиты	400	$0,078 + 0,0002 t_{\phi}$	
Диамитовые обжиговые изделия марки 500	500	$0,116 + 0,00023 t_{\phi}$	
Диамитовые обжиговые изделия марки 600	600	$0,14 + 0,00023 t_{\phi}$	

Таблица II-4

## Средняя температура изоляционного слоя

Температура окружающего воздуха °C	Средняя температура потока, °C	
	50	100
25	45	70
15	40	65
0	35	60
-15	30	55
-30	25	45

Таблица II-5

## | Оптимальная производительность нефтепроводов

Нефтепроводы			
Наружный диаметр, мм	Рабочее давление, кгс/ см <sup>2</sup>	Производи- тельность, млн.т/год	м <sup>3</sup> /с
530	54 ± 65	6 ± 8	0,23 ± 0,31
630	52 ± 62	10 ± 12	0,39 ± 0,47
720	50 ± 60	14 ± 18	0,54 ± 0,7
820	48 ± 58	22 ± 26	0,86 ± 1,01
920	46 ± 56	32 ± 36	1,24 ± 1,4
1020	46 ± 56	42 ± 50	1,63 ± 1,95
1220	44 ± 54	70 ± 78	2,72 ± 3,03

## Приложение 3

## Р А С Ч В Т

полного коэффициента теплопередачи от жидкости в окружающую среду

Полный коэффициент теплопередачи от жидкости в окружающую среду следует рассчитывать по уравнению:

$$K = \frac{1}{\frac{1}{\alpha_n} + \frac{D}{d_{нар} d_{внутр}} + \lambda \sum_{i=1}^n \frac{1}{22_i} \ln \frac{d_{нар,i}}{d_{внутр,i}}} , \quad (\text{II-1})$$

где  $\alpha_n$  - коэффициент теплоотдачи от жидкости к стенке трубопровода;

$d_{нар}$  - то же, от стенки к грунту;

$d_{нар}, d_{внутр}$  - соответственно наружный и внутренний диаметры трубопровода;

$d_{нар,i}, d_{внутр,i}$  - соответственно наружный и внутренний диаметры слоев, отделяющих жидкость от грунта (внутренние заграждения, стенка трубопровода, антикоррозийная прокладка, теплоизоляция и т.д.);

$\lambda_i$  - коэффициент теплопроводности  $i$ -того слоя.

Безразмерный локальный коэффициент теплоотдачи от жидкости к стенке:

$$Nu = \frac{\alpha_n D}{\lambda} \quad (\text{II-2})$$

зависит от режима перекачки. При динамическом режиме его следует рассчитывать по уточненной формуле Н.А.Михеева:

$$Nu_s = 348 \cdot Po^{-1,41} \cdot Re_s^{-0,139} \cdot Ec_s^{0,101} \quad (\text{II-3})$$

(представлена nomogrammой на рис. II-1);

при турбулентном режиме - по формуле:

$$Nu_t = 0,021 \cdot Re_t^{0,8} \cdot Pr_t^{0,43} \left( \frac{Pr_t}{Re_w} \right)^{0,25} \quad (\text{II-4})$$

Формулой для  $Nu_s$  необходимо пользоваться при  $Re_s \leq Re_{kp}$ , формулой для  $Nu_t$  при  $Re_s \geq 10000$ . В диапазоне от  $Re_{kp}$  до 10000 локальное число Нуссельта следует рассчитывать, пользуясь линейной интерполяцией:

$$Nu = \frac{(Nu_3 - Nu_1)(Re - Re_{kp})}{10000 - Re_{kp}} \quad (\text{II-5})$$

где  $Nu_3$  - число Нуссельта, рассчитываемое по формуле для  $Nu_t$ , при  $Re = 10000$ ;

$Nu_1$  - число Нуссельта, рассчитываемое по формуле для  $Nu_s$ , при  $Re = Re_{kp}$ .

Коэффициент теплоотдачи от стенки в грунте следует определять по формуле Форхгеймера:

$$\alpha_{np} = \frac{2\lambda_{re}}{\Delta_{np} \cdot \ln \left[ \frac{2h_o}{\Delta_{np}} + \sqrt{\left( \frac{2h_o}{\Delta_{np}} \right)^2 - 1} \right]} \quad (\text{II-6})$$

При  $\frac{h_o}{\Delta_{np}} \leq 3$  и при глубине засыпки меньше 0,7 м вместо величины  $h_o$  следует использовать  $h'_o$  - приведенную глубину заложения:

$$h'_o = h_o + \frac{\lambda_{re}}{\alpha_s} + \delta_{\phi, sn} \quad (\text{II-7})$$

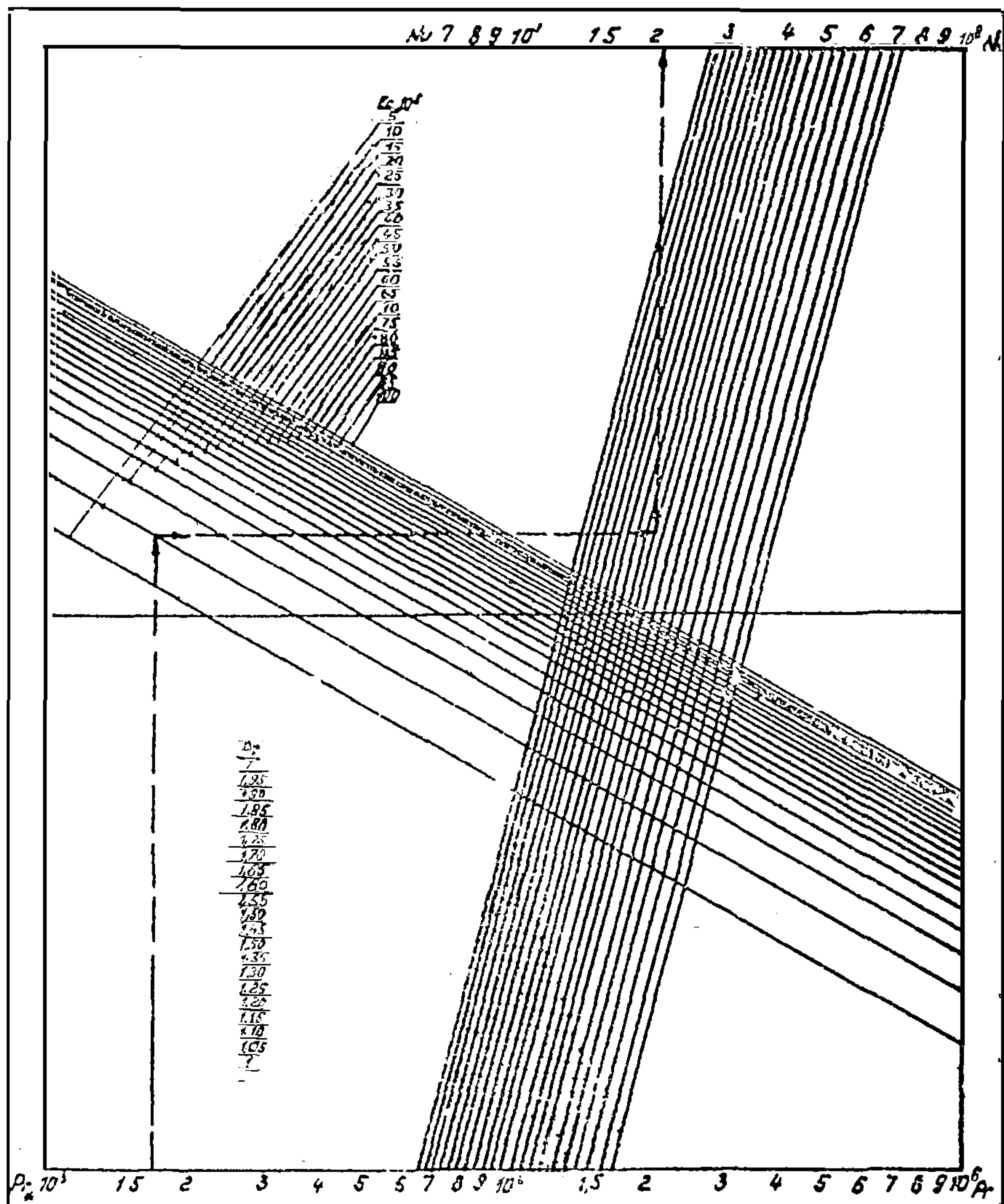


Рис.П-1 Номограмма для определения числа Нуссельта при ламинарном режиме перекачки

где  $\alpha_g$  - коэффициент теплоотдачи от грунта в воздух ( $\sim 1217 \frac{\text{Вт}}{\text{м}^2 \cdot \text{К}}$ ).

Точная величина  $\lambda_g$  в зависимости от скорости ветра определяется по данным Фокина (табл. II-6).

Таблица II-6

## Коэффициент теплоотдачи от грунта в воздух

Скорость ветра, м/с	0	0,5	1,0	2,0	3,0	4,0	5,0	6,0	7,0	8,0	9,0	10,0
$\lambda_g, \frac{\text{Вт}}{\text{м}^2 \cdot \text{К}}$	5,8	14,0	18,6	25,6	30,2	33,7	37,2	40,7	44,2	46,5	51,2	46,5

Величина  $\delta_{\varphi, cu}$  учитывает теплозащищающее влияние снежного покрова:

$$\delta_{\varphi, cu} = \delta_{cu} \frac{\lambda_{cu}}{\lambda_{cr}} \quad (\text{II-8})$$

Для надземных трубопроводов коэффициент  $\lambda_{cu}$  представляется собой сумму коэффициентов теплоотдачи конвекции илучепроникновения:

$$\lambda_{cu} = \lambda_{kav} + \lambda_{lyu} \quad (\text{II-9})$$

и может приближенно определяться по формуле:

$$\lambda_{kav} = 11,6 + 7\sqrt{V}, \frac{\text{Вт}}{\text{м}^2 \cdot \text{К}} \quad (\text{II-10})$$

При проектировке "горячего" трубопровода в землю коэффициент теплоотдачи от стенки трубопровода к земле следует рассчитывать по формуле:

а) непроточная вода:

$$Nu = C (\rho_2 G_2)^{m}, \quad (\text{II-11})$$

где  $C$  и  $m$  выбирают по таблице II-7.

Таблица II-7

$\rho_2 G_2$	$C$	$m$
$\leq 10^{-5}$	0,45	0
$10^{-5} \div 5 \cdot 10^2$	1,18	0,125
$5 \cdot 10^2 \div 2 \cdot 10^7$	0,54	0,250
$> 2 \cdot 10^7$	0,135	0,333

При этом физические характеристики для вычисления произведения  $\rho_2 G_2$  относятся к средней температуре:

$$t_{\varphi} = \frac{t_{\text{нар}} + t_0}{2} \quad (\text{II-12})$$

в качестве линейного размера в параметре Грасгофа выбирают наружный диаметр трубы, а разность температур в том же параметре принимают равной  $t_{\text{нар}} - t_0$ ;

б) проточная вода (поперечное сопротекание):

$$Nu = C, \rho_2^{0.35} Re^{m}, \quad (\text{II-13})$$

где значения  $C_1$  и  $m_2$  выбирают из табл. II-3.

Таблица II-3

$Re$			$C_1$	$m_2$
	от	до		
0,1		4,0	0,99	0,305
4,0		50,0	0,86	0,410
8,0		$1 \cdot 10^3$	0,59	0,470
$1 \cdot 10^2$		$5 \cdot 10^3$	0,665	0,470
$5 \cdot 10^3$		$5 \cdot 10^4$	0,22	0,60
$5 \cdot 10^4$			0,026	0,80

Для расчета  $\Delta_{\text{нр}} \Delta t_{\text{ст}}$  необходимо знать соответствующие температуры стеки. Они находятся методом по следовательных приближений с приворкой по уравнению теплового баланса:

$$\Delta_{\text{нр}} \Delta (t_s - t_w) = \Delta_{\text{нр}} \Delta_{\text{нр}} (t_{\text{нар}} - t_s), \quad (\text{II-14})$$

причем переход от температуры на внутренней стенке трубы  $t_w$  к температуре на наружной поверхности трубы, антикоррозийной изоляции, тепловой изоляции и т.д. следует осуществлять по формуле:

$$t_i = t_w - \sum_i \frac{\lambda_i \cdot \Delta t}{2} (t_s - t_w) \ln \frac{\Delta_{\text{нр}} \Delta}{\Delta_{\text{нр}} i} \quad (\text{II-15})$$

При расчетах без использования СИМ можно образно поступать следующим образом. Задать ряд значений  $t_w$  (три или четыре).

Для каждого из значений  $t_w$  по соответствующим формулам рассчитать  $\alpha_w$  и  $\alpha_{n,w}$ . Составить произведение  $\alpha_w \Delta(t_w; t_w) \cdot \alpha_{n,w} \Delta_{n,w}(t_{n,w}; t_w)$  и нанести их на график в зависимости от  $t_w$ . Точка пересечения кривых  $F_1 = \alpha_w \Delta(t_w; t_w)$  и  $F_2 = \alpha_{n,w} \Delta_{n,w}(t_{n,w}; t_w)$  определят значение температуры стенки  $t_w$  в данном сечении трубопровода.

Ориентировочные значения полного коэффициента теплопередачи от жидкости в грунт принимают по значениям произведений КД, приведенным в табл. II-9.

#### Ориентировочные значения КД, Вт/м °С

Таблица II-9

Грунт	Условный диаметр трубопровода	
	$1 \leq D \leq 0,500$	$0,600 + 1,000$
Сухие грунты	$0,6 + 0,8$	$0,9 + 1,1$
Влажные грунты	$0,9 + 1,1$	$1,4 + 1,7$
Жидкожидкостные грунты	$1,7 + 2,3$	$2,3 + 2,9$

Примечание. Минимальные значения КД выбирают для трубопроводов с меньшим диаметром.

Коэффициенты  $a, b$  в формуле:

$$K = a + \frac{b}{t - t_0} \quad (\text{II-16})$$

определяются в следующем порядке:

а) рассчитываются значения коэффициентов теплоотдачи ( $\alpha_{e,i}$  и  $\alpha_{a,i}$ ) и определяются значения коэффициентов теплопередачи  $K_i$  при температурах  $t_n$  и  $t_a$ ;

б) рассчитанные значения  $K_i$  подставляются в формулы:

$$q = \frac{(K_1 - K_2)(t_1 - t_0)(t_0 - t_e)}{t_e - t_1} \quad (\text{II-17})$$

$$\alpha = K_e - \frac{\theta}{t_e - t_0} \quad (\text{II-18})$$

Приложение 4

**Расчет коэффициента увеличения гидравлического сопротивления  $\Delta_2$  из-за неравномерности распределения температуры в сечении трубы.**

Поправка  $\Delta_2$  на неравномерность распределения температуры во радиусу трубы зависит от режима течения. При ламинарном режиме ее следует вычислить по формуле:

$$\Delta_2 = \frac{1}{4 \int_0^R \frac{(u(t_r) - t_r)^2}{J! (\frac{\lambda u}{\nu} J + 4)} dJ} \quad (II-20)$$

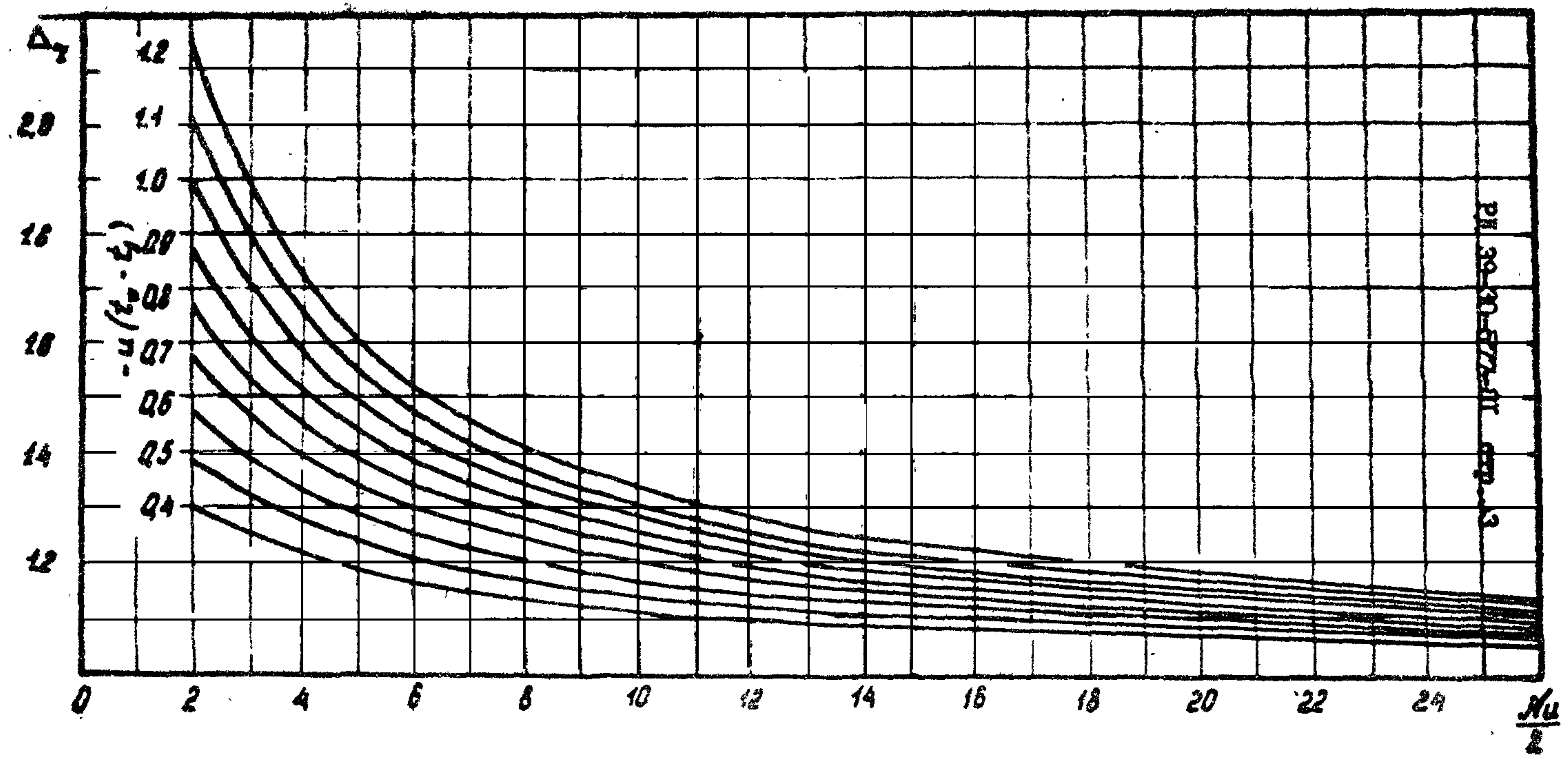
При турбулентном режиме поправку  $\Delta_2$  необходимо рассчитывать по формуле И. А. Михеева:

$$\Delta_2 = \left( \frac{\lambda u}{\nu} \right)^{\frac{1}{2}} \quad (II-21)$$

Таким образом, для вычисления поправки следует произвести тепловой расчет. Найти  $t_x, t_r, u_r, (\lambda u)$ . Только после этого можно будет найти значение  $\Delta_2$ , соответствующее заданному режиму течения.

Для ускорения расчета  $\Delta_2$  на рис. II-2 приведена кривая для определения  $\Delta_2$ .

Рис.П-2 Номограмма для определения  $\Delta z$



## Приложение 5

Расчет величины  $i$ 

Гидравлический уклон следует вычислять по формуле:

$$i = \frac{\xi \Delta z}{A} \cdot \frac{V^2}{2g} \quad (\text{П-22})$$

Формулу для расчета коэффициента Дарси  $\xi$  следует выбрать в зависимости от режима течения и зоны трения.

При ламинарном режиме течения ( $Re \ll Re_{\tau}$ )

$$\xi = \frac{64}{Re} \quad (\text{П-23})$$

при турбулентном режиме течения в зоне гладкого трения  
( $4000 \leq Re \leq Re'$ )

$$\xi = \frac{0.3164}{Re^{0.44}} \quad (\text{П-24})$$

при турбулентном режиме в зоне смешанного трения ( $Re' < Re \leq Re''$ )

$$\xi = 0.11 \left( \frac{64}{Re} + \frac{K_2}{A} \right)^{0.05} \quad (\text{П-25})$$

при турбулентном режиме в зоне вихреобразоватого трения  
( $Re > Re''$ ;  $K_2/A \leq 0.001$ )

$$\xi = 0.11 \left( \frac{K_2}{A} \right)^{0.25} \quad (\text{П-26})$$

или ( $Re > Re'$ ;  $K_3$  не ограничивается)

$$\xi = \frac{0,25}{\left(\lg \frac{3,7A}{K_3}\right)^2} \quad (\text{II-27})$$

при переходном режиме ( $Re_{x_p} < Re < 400$ ) коэффициент Дарси для обоснования расчета следует определять по формуле (II-24).

Границы зон трения зависят от эквивалентной перегородки стеноок трубы —  $K_3$ .

$$Re' = \frac{15A}{K_3}; \quad Re'' = \frac{560A}{K_3} \quad (\text{II-28})$$

Эквивалентная перегородка труб нефтепроводов по данным И.Е.Идельчика приведена в табл. II-10.

Таблица II-10

## Эквивалентная перегородка нефтепроводных труб

Вид труб, состояние поверхности и условия эксплуатации	$K_3$ , мм
Новые, не бывшие в употреблении цельнотянутые стальные трубы	0,02 ÷ 0,10
Очищенные после многих лет эксплуатации цельнотянутые стальные трубы	до 0,04
Бензопроводы из цельнотянутых стальных труб для срочных условий эксплуатации	0,20
Те же, умеренно корродированные	до 0,4
Новые цельносварные стальные трубы	0,04 ÷ 0,10
Бывшие в эксплуатации цельносварные стальные трубы, равномерная коррозия	0,15

Коэффициент Дарок для эксплуатируемых трубопроводов по диспетчерским данным следует определять в соответствии с рекомендациями, приведенными в [5, 6].

## Приложение 6

## Расчет интенсивности кристаллизации парафина

Предлагаемый ниже метод позволяет определить границы кристаллизации парафина ( $t_{\text{кр}}$  и  $t_{\text{кл}}$ ) и получить кривую зависимости  $dE/dt$  от температуры  $t$ .

Для этого методом И.М.Полупова и др. (Транспорт и хранение нефти и нефтепродуктов, Тр.ВНИИСПГнефти, вып.Х, Уфа, 1972, с.37-41) должна быть снята дифференциальная термограмма нефти - зависимость  $\Delta t$  (разность температур между исследуемой нефтью и жидкостью-эталоном) от температуры нефти. Кроме того, должно быть определено  $C_n$  - общее содержание парафина в нефти.

Зависимость  $\Delta t(t)$  должна быть проинтегрирована (численно или квадратуром). Площадь под термограммой  $S_n$  в масштабе  $m_n$  представляет собой  $C_n$ , откуда

$$m_n = \frac{S_n}{C_n} \quad (\text{П-29})$$

Знак масштаба, получаем по термограмме значение:

$$\frac{dE}{dt} = - \frac{\Delta t}{m_n} \quad (\text{П-30})$$

Пример. Определить зависимость  $dE/dt$  от температуры по термограмме магнитной нефти с содержанием парафина 20%. Термограмма представлена на рис.П-3.

Достроенная (эмпирическая) термограмма I занимает интервал в  $60^{\circ}\text{C}$  (от  $2,5$  до  $62,5^{\circ}\text{C}$ ). Таким образом  $t_{\text{кр}}=62,5^{\circ}\text{C}$ ;  $t_{\text{кл}}=2,5^{\circ}\text{C}$ .

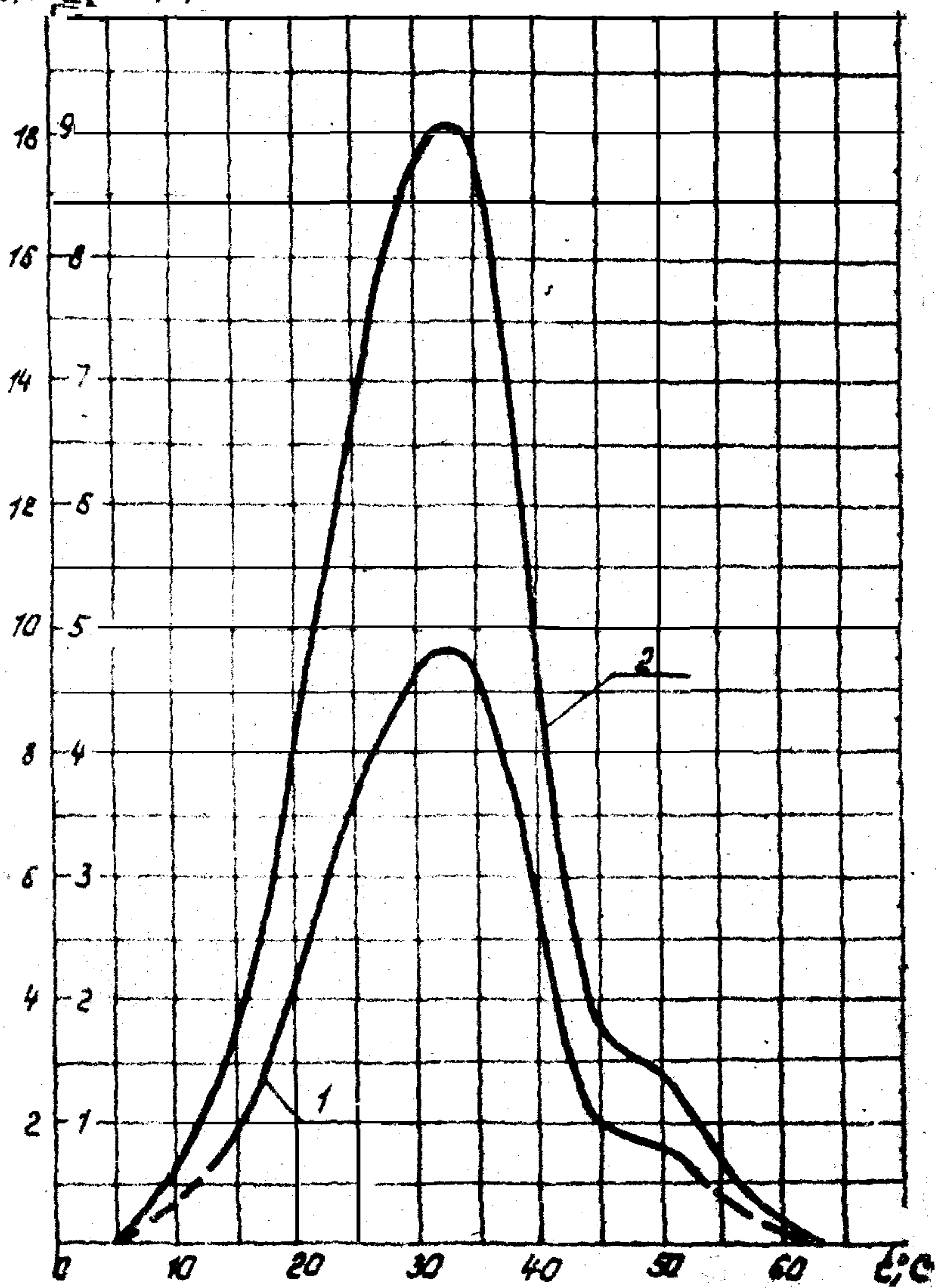
$$\Delta t, ^\circ C \cdot \frac{d\delta}{dt} \cdot 10^3, 1/^\circ C$$


Рис. II-3 Характеристики процесса кристаллизации  
парaffинов из многивariantной нефти  
1 - термограмма; 2 -  $d\delta/dt = f(t)$

Площадь термограммы  $S_n = 213,4$  кв.град., Т.е.

$$m_n = \frac{S_n}{C_n} = \frac{213,4}{0,1} = 1067 \text{ кв.мм}$$

Разделив ординаты термограммы I на 1067, получаем кривую 2 зависимости  $-dE/dt$  от температуры.

По найденной зависимости  $dE/dt$  от  $t$  рассчитывают коэффициенты  $b_0$ ,  $b_1$  и  $b_2$  аппроксимационной зависимости (6), беря три характерных точки с координатами  $(\frac{dE}{dt})_i$  и  $(t_{nA} - t)_i$ .

$$b_0 = \frac{(x_0 - x_1) \ln \frac{x_1}{x_0} - (x_1 - x_2) \ln \frac{x_2}{x_1}}{(x_0 - x_2) \ln \frac{x_2}{x_0} - (x_1 - x_2) \ln \frac{x_1}{x_0}} \quad (II-31)$$

$$b_1 = \frac{\ln \frac{x_2}{x_1} - b_0 \ln \frac{x_1}{x_0}}{x_2 - x_0} \quad (II-32)$$

$$b_2 = \frac{y_i}{x_i^{b_1} e^{b_0 x}} \quad (II-33)$$

В формулах (II-31) ÷ (II-33) для сокращения записи  $(dE/dt)_i$  обозначено через  $y_i$ , а  $(t_{nA} - t)_i$  через  $x_i$ . В качестве характерных точек рекомендуется брать точки, близкие к  $t_{nA}$  и  $t_{nB}$ , а также точку максимума.

Средняя интенсивность кристаллизации кафана:

$$\frac{dE}{dt} = \frac{C_n}{t_{nA} - t_{nB}}$$

Количество кафана  $E$ , кристаллизованного в диапазоне от температуры  $t_{nA}$  до температуры  $t$ :

$$E = C_n \frac{t_{nA} - t}{t_{nB} - t_{nA}}$$

## Приложение 7.

## Расчет эффективной теплоемкости нефти

Эффективная теплоемкость нефти в приближенных расчетах определяется по формулам:

$$\begin{aligned} C_{\text{ср}} &= C \left( 1 - \frac{\alpha}{C} \cdot \frac{\Delta E}{\Delta t} \right) = \\ &= C \left( 1 + \frac{\alpha}{C} \cdot \frac{C_n}{t_{\text{пп}} - t_{\text{нн}}} \right), \end{aligned} \quad (\text{II-34})$$

если расчетный интервал температур лежит в пределах от  $t_{\text{нн}}$  до  $t_{\text{пп}}$ ;

$$C_{\text{ср}} = C \left( 1 + \frac{t_{\text{пп}} - t_x}{t_x - t_{\text{нн}}} \cdot \frac{\alpha}{C} \cdot \frac{C_n}{t_{\text{пп}} - t_{\text{нн}}} \right), \quad (\text{II-35})$$

если  $t_x > t_{\text{пп}}$ , а  $t_{\text{нн}} < t_x < t_{\text{пп}}$ ;

$$C_{\text{ср}} = C \left( 1 + \frac{t_x - t_{\text{нн}}}{t_{\text{пп}} - t_x} \cdot \frac{\alpha}{C} \cdot \frac{C_n}{t_{\text{пп}} - t_{\text{нн}}} \right), \quad (\text{II-36})$$

если  $t_{\text{нн}} < t_x < t_{\text{пп}}$ , а  $t_x < t_{\text{нн}}$

$$C_{\text{ср}} = C \left( 1 + \frac{t_{\text{пп}} - t_{\text{нн}}}{t_{\text{нн}} - t_x} \cdot \frac{\alpha}{C} \cdot \frac{C_n}{t_{\text{пп}} - t_{\text{нн}}} \right), \quad (\text{II-37})$$

если  $t_x > t_{\text{пп}}$ , а  $t_x < t_{\text{нн}}$

В точных расчетах Сэф на расчетном участке определяется:

$$C_{\text{эфф}} = C \left( 1 - \frac{\sum \frac{d\varepsilon}{dt}}{C} \right) \quad (\text{II-38})$$

Средняя на участке от  $t_0$  до  $t_n$  эффективная теплосынкость рассчитывается по формуле:

$$\bar{C}_{\text{эфф}} = \frac{\sum_i^i C_{\text{эфф},j} \Delta t}{\sum_j^i \Delta t_j} \quad (\text{II-39})$$

## Приложение 8

## Примеры теплоиздравлических расчетов

Пример I. Рассчитать температуру нефти в конце перегона при следующих условиях: внутренний диаметр трубопровода  $D = 0,7\text{м}$ , длина трубопровода  $L = 172\text{км}$ , производительность перекачки  $M = 14\text{млн.т/год}$ , плотность нефти при  $20^\circ\text{C}$   $\rho_0 = 890 \text{ кг}/\text{м}^3$ , теплопроводность огнища  $\lambda_{ог} = 1,32 \text{ Вт}/\text{м}^\circ\text{C}$ , влажность  $W_0 = 22\%$ , теплоемкость  $C_p = 2,00 \text{ КДж}/\text{кг}^\circ\text{C}$ , вязкость нефти при температуре грунта в ненаруженном тепловом состоянии на глубине заложения оси трубопровода  $t_0 = 0^\circ\text{C}$  составляет  $\nu_0 = 10,8 \text{ Ст}$ , коэффициент крутизны вискограммы нефти  $n = 0,06 \text{ л}^\circ\text{C}$ , коэффициент теплопроводности  $\lambda = 0,166 \text{ Вт}/\text{м}^\circ\text{C}$ , глубина заложения оси трубопровода -  $1,1\text{м}$ , трубопровод покрыт нормальной битумно-резиновой изоляцией на базе мастики МБР-100 и уложен в глинистый грунт, начальная температура нефти на входе в станцию  $t_{бx} = 57^\circ\text{C}$ , глубина суголового покрова равна  $0,3\text{м}$ . Насосная станция оборудована тремя насосными агрегатами НМ-7000x210 ( $N_s=200$ ), два из которых работают последовательно, а один резервный. Радиус роторов  $R = 0,22\text{м}$ . Дросселируемое давление равно  $\Delta P = 0,75 \text{ МПа}$ . Температура грунта в ненаруженном тепловом состоянии  $t_0 = 0^\circ\text{C}$ .

Решение.

Расчетные параметры при температуре  $57^\circ\text{C}$ :

$\rho \text{ кг}/\text{м}^3$	$1,0 \cdot 10^{-4} \text{ м}^2/\text{с}$	$1Q \text{ м}^3/\text{с}$	$P_e$	$Re_{не} \cdot 10^{-5}$	$\bar{K}$
866,7	0,375	0,634	392	4,05	1,09

По nomogramme (рис. I) находим  $C_M = 0,031$ .

Коэффициент  $K$  находим с помощью формулы (I7):

$$\bar{K} = 1,015 + 0,000382 \cdot 200 = 1,09$$

Подогрев нефти в насосе равен:

$$\Delta t_{nc} = \frac{\rho \bar{K} C_n R^5 \omega^3}{C_p Q} = \frac{2 \cdot 1,09 \cdot 0,031 \cdot 0,22^5 \cdot 314^3}{2 \cdot 10^3 \cdot 0,534} = 1,008 \approx 1^\circ\text{C}.$$

Подогрев нефти в дросселирующем органе определяем по nomogramme (рис. 2) по известным значениям  $P_1$ ;  $\rho$  и  $\Delta P$ . Он равен

$$\Delta t_{dp} = 1^\circ\text{C}.$$

Таким образом, общий подогрев нефти на насосной станции равен сумме повышения температуры в двух насосах и дросселирующем органе. Начальная температура нефти равна:

$$t_n = t_{d_1} + 2 \cdot \Delta t_{nc} + \Delta t_{dp} = 57 + 2 \cdot 1 + 1 = 60^\circ\text{C}.$$

Расчетные параметры при  $60^\circ\text{C}$ .

$\rho$ кг/м <sup>3</sup>	$V \cdot 10^4$ м <sup>3</sup> /с	$Q$ м <sup>3</sup> /с	$Re$
864	0,295	0,536	33100

Режим течения является турбулентным в зоне гладкого трения (при  $K_d = 0,2m$ ;  $1/Re = 52450$ ).

Нагрев температура при непрерывности гидравлического расчета в IX.

$$t_n - t_{n,i} = \frac{-6}{\bar{u}m} \ln(1 - \delta_r) = \frac{-6}{0,06 \cdot 0,25} \ln(1 - 0,01) = 4,02^\circ\text{C}$$

Выбираем шаг  $4^{\circ}\text{C}$ .

Расчетная температура на первом участке:

$$t_1 = t_{\text{н}} + 0,5(t_{\text{н},1} - t_{\text{н},1}) = 60 + 0,5(-4,0) = 58,0^{\circ}\text{C}$$

Эффективный коэффициент теплопроводности грунта (сопротивлением стенки трубопровода, изоляции и теплопередачи от нефти к стенке пренебрегаем):

$$\lambda_{\text{rp}} = 1,32 - 1,7 \cdot 10^{-5} \cdot 1500 \frac{60^2 \sqrt{-0,000254 \cdot 60^2 + 0,0105 \cdot 60 - 0,00832}}{1,676 \cdot 60 - 15,63} = 0,979 \frac{\text{Вт}}{\text{м} \cdot \text{град}}$$

Приведенная глубина заложения трубопровода (тепловым сопротивлением на границе "грунт-воздух" пренебрегаем):

$$h'_0 = h_0 + \delta_{\text{cn}} \frac{\lambda_{\text{rp}}}{\lambda_{\text{н}}} = 1,1 + \frac{0,979}{0,40} \cdot 0,3 = 1,834 \text{ м}$$

Полный коэффициент теплопередачи от нефти в грунт при толщине стенки трубопровода 10мм:

$$K_1 = \frac{e \lambda_{\text{rp}}}{4 \ln \frac{4h'}{D_{\text{нпр}}}} = \frac{2 \cdot 0,979}{0,7 \ln \frac{4 \cdot 1,834}{0,028}} = 1,210 \frac{\text{Вт}}{\text{м}^2 \cdot \text{град}}$$

Плотность нефти при температуре  $t_1$ :

$$\rho_1 = 890 - 0,647(58,0 - 20) = 865 \frac{\text{кг}}{\text{м}^3}$$

Объемный расход нефти при температуре  $t_1$ :

$$Q = \frac{(14 \cdot 10^3) \cdot 9,81}{350 \cdot 24 \cdot 3600 \cdot 865 \cdot 9,81} = 0,535 \frac{\text{м}^3}{\text{с}}.$$

Параметр Померанцева (нефть парафина не содержит):

$$P_0 = 1 - \frac{\lambda}{c} \cdot \frac{dE}{dt} = 1.$$

Параметр II (при  $\varphi_s = 0$ ):

$$\Pi_i = \frac{2Mi + \frac{\pi}{4} g_0 D^2}{K\pi D(t - t_0)} = \frac{9,81 \cdot 463 \cdot 0,00346}{1,21 \cdot \pi \cdot 0,700(58-0)} = 0,102,$$

так как

$$i = \xi \frac{\Delta_r}{D} \frac{V^2}{2g} = \frac{0,5164}{19210^{0,225}} \cdot \frac{1,05}{0,760} \cdot \frac{1,39^2}{2 \cdot 9,81} = 0,00346$$

(предполагается, что  $\Delta_r = 1,05$ )

Безразмерная длина первого участка:

$$\gamma_{a,i} = \frac{\rho_0}{\Pi_i - 1} \cdot \frac{\Delta t}{t - t_0} = \frac{1}{(0,102 - 1)} \cdot \frac{-40}{58 - 0} = 0,0768$$

Длина первого участка:

$$x_i = \frac{M c \gamma_{a,i}}{K \pi D} = \frac{463 \cdot 1997 \cdot 0,0768}{1,21 \cdot \pi \cdot 0,700} = 26134$$

Расчеты для последующих участков делаются аналогично (таб.П-І)

Таблица П-ІІ

Номер участка	$t_{H,i}$ , °C	$t_{K,i}$ , °C	$t_i$ , °C	$\lambda_{cr,i}$ , $\frac{W}{m \cdot ^\circ C}$	$h_{a,i}$ , м	$K$ , $\frac{W}{m^2 \cdot ^\circ C}$	$\rho_i$ , $\frac{kg}{m^3}$
1.	60	56	58	0,979	1,732	1,21	865
2.	56	52	54	1,00	1,749	1,27	868
3.	52	48	50	1,035	1,767	1,30	871
4.	48	44	46	1,065	1,785	1,33	873
5.	44	40	42	1,092	1,804	1,36	876
6.	40	36	38	1,120	1,822	1,39	878

## Продолжение таблицы II-II

Номер участка	$Q_i$ $m^3/c$	$\Pi$	$J_a$	$C_{p,i}$ $kg/m^2 K^{\circ}C$	$X_i$ $m$	$\sum X_i$ $m$
1.	0,535	0,102	0,0768	1,997	26134	26134
2.	0,533	0,114	0,0840	1,984	27500	53643
3.	0,531	0,127	0,0920	1,968	29283	82917
4.	0,530	0,142	0,1020	1,955	31511	114428
5.	0,528	0,161	0,1142	1,939	34218	148646
6.	0,527	0,190	0,1299	1,926	37907	186533

Нанеся на график " $t - X$ " полученные в расчетах величины, находим распределение температуры на перегоне между тепловыми станциями (рис.П-4).

В результате расчета по рекомендации пункта 3.3. циклом:

$$t_x = 37,5^{\circ}C.$$

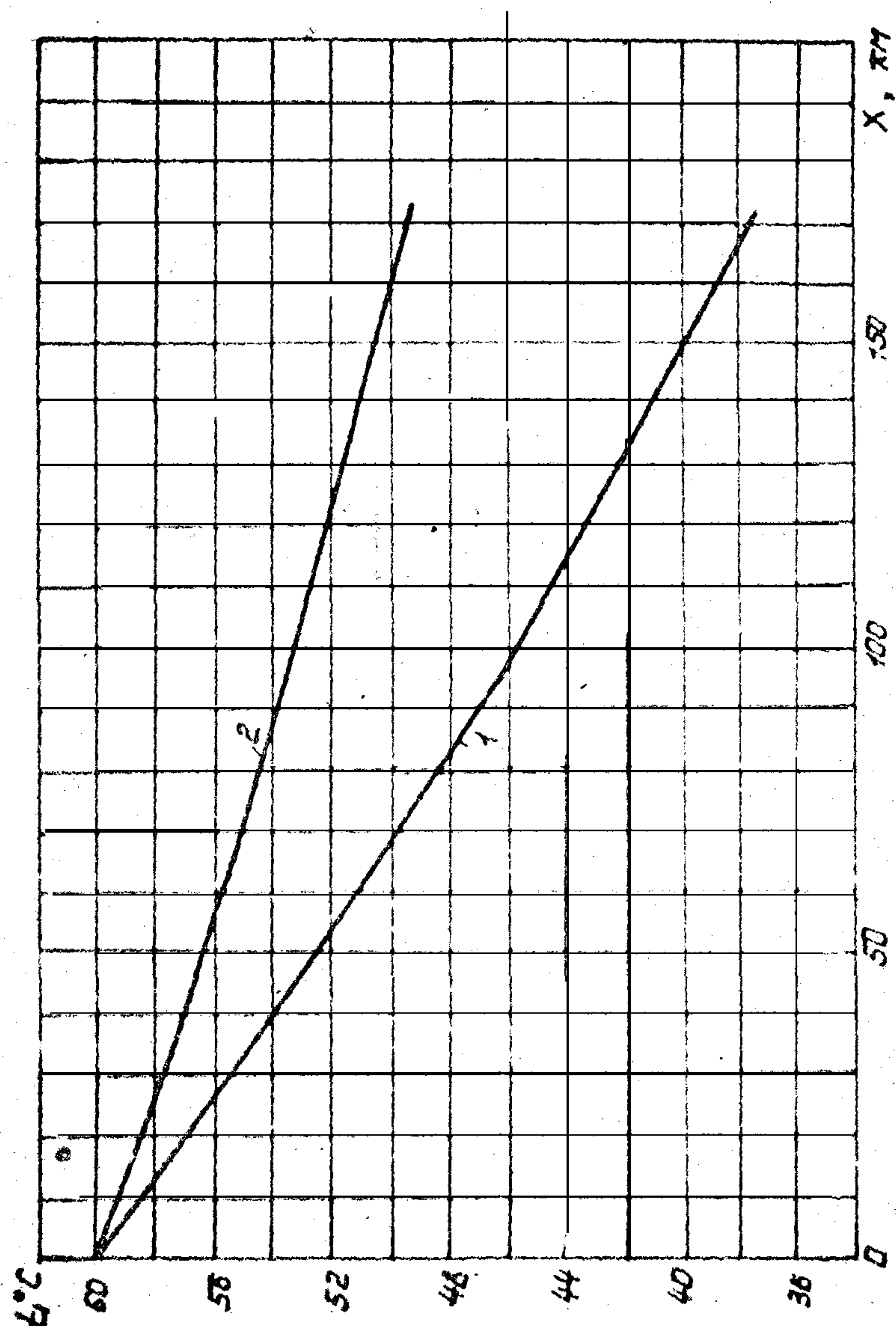


Рис.Л-4 К определению конечной температуры

в условиях примеров I и 4

I - без тепловой изоляции; 2 - с тепловой изоляцией

Пример 2. Найти давление в начале перегона между теплоими станциями, необходимое для перекачки жидкости в условиях примера 1, если дополнительно заданы конечное давление  $p_2 = 0,2 \text{ МПа}$ , отметка начального сечения трубопровода  $Z_1 = 42 \text{ м}$  и отметка конечного сечения  $Z_2 = 15,3 \text{ м}$ . Потери на местных сопротивлениях составляют 3% потерь на трение.

Потери напора на первом участке находим по вязкости, соответствующей средней температуре на участке  $58^\circ\text{C}$  (см.табл.2) :

$$\lambda = \lambda_0 e^{-\frac{4}{Re} \cdot \frac{u(t-t_0)}{v}} = 10,8 \cdot 10^{-4} e^{-\frac{4}{29240} \cdot \frac{0,06(58-0)}{0,02}} = 0,333 \cdot 10^{-4} \text{ м}^2/\text{с}$$

Параметр Рейнольдса на первом участке :

$$Re = \frac{4Q}{\pi D v} = \frac{4 \cdot 0,535}{3,14 \cdot 0,7 \cdot 0,333 \cdot 10^{-4}} = 29240,$$

при абсолютной шероховатости стенки трубы  $0,2 \text{ мм}$  верхняя граница зоны гладкого трения :

$$Re' = \frac{15D}{K_s} = \frac{15 \cdot 0,7 \cdot 10^3}{0,2} = 52500$$

Так как  $4000 < 29240 < 52500$ , то на первом участке перекачиваемая нефть течет турбулентно в зоне гладкого трения. При этом коэффициент Дарси следует рассчитывать по формуле Бланкуса. С учетом поправки  $A_t = 1,05$  на неизотермичность по радиусу трубопровода коэффициент Дарси на первом участке :

$$\xi_1 = \frac{0,3164 A_t}{Re^{0,25}} = \frac{0,3164 \cdot 1,05}{29240^{0,25}} = 0,0254$$

Средняя скорость течения нефти на первом участке :

$$V_1 = \frac{4Q}{\pi D^4} = \frac{4 \cdot 0,535}{3,14 \cdot 0,7^4} = 1,391 \text{ м/с}$$

Потери на трение на первом участке:

$$h_1 = \xi \frac{\ell}{D} \frac{V_1^2}{2g} = 0,0254 \frac{26134}{0,7} \cdot \frac{1,391^2}{2 \cdot 9,81} = 93,5 \text{ м}$$

Расчеты для последующих участков делаются аналогично (табл.П-12).

Таблица П-12

Номер участков	$D_i \cdot 10^{-4}$ м <sup>2</sup> /с	Re	$\xi_i$	$V_i$ м/с	$h_i$ м	$\sum h_i$ м
1.	0,333	29240	0,0254	1,391	93,5	93,5
2.	0,423	22920	0,0271	1,385	104,1	197,6
3.	0,538	17950	0,0287	1,380	116,5	314,1
4.	0,684	14090	0,0305	1,377	132,7	446,8
5.	0,869	11052	0,0324	1,372	152,0	598,8
6.	1,105	8675	0,0344	1,369	109,6	708,4

Потери на перегоне между тепловыми станциями:

$$h = \sum h_i + \sum h_j = (708,4 + 0,03 \cdot 708,4) = 729,7 \text{ м}$$

Давление в начале перегона при коэффициенте Кориолиса  $\Psi = 1,15$ :

$$\begin{aligned} P_h &= \rho_h g \left( \frac{P_h}{\rho_h g} + Z_h - Z_N + \Psi \frac{V_h^2 - V_N^2}{2g} + h \right) = \\ &= 864 \cdot 9,81 \left( \frac{2 \cdot 10^5}{880 \cdot 9,81} + 15,3 - 42,0 + 1,15 \frac{1,369^2 - 1,391^2}{2 \cdot 9,81} + 729,7 \right) = 6,15 \text{ МПа} \end{aligned}$$

Пример 3. Провести теплогидравлический расчет магистрального нефтепровода диаметром 1220x13мм и длиной 2000км. Температура нефти на выходе из начального пункта  $t_N = 30^\circ\text{C}$ . Максимальная температура грунта (суглинка) равна  $15^\circ\text{C}$ , минимальная температура его в начале трубопровода  $-6^\circ\text{C}$ , а в конце  $-4^\circ\text{C}$ .

Физико-химические свойства нефти:

$$\rho_{15} = 850 \text{ кг/м}^3; \gamma_{15} = 15 \cdot 10^{-6} \text{ м/с}; \mu = 0,03 \text{ дж/кг}; t_{KK} = 65^\circ\text{C}$$

$$P_{yN} = 53320 \text{ Па}; P_{yK} = 66650 \text{ Па}; \lambda = 0,166 \frac{\text{Вт}}{\text{м} \cdot \text{град}}; C_p = 3,6 \text{ кДж/кг}$$

Глубина заложения трубопровода - I, I<sub>m</sub>, глубина снежного покрова - 0,3м, Насосная станция оборудована 3 насосами НМ-10000-210, два из которых работают последовательно, а один резервный. Радиус роторов  $R = 0,247\text{м}$ . Плотность суглинка  $\rho_{gr} = 1500 \text{ кг/м}^3$ , влажность его в ненарушенном состоянии  $W_0 = 22\%$ .

Критическая конечная температура:

$$t_{KK} = \frac{11 t_{KK} \cdot t_N}{11 t_{KK} - t_N \ln \frac{P_{yK}}{P_{yN}}} = \frac{11(273+65)(273+30)}{11(273+65)-(273+30) \ln \frac{66650}{53320}} = 35,6^\circ\text{C}$$

Параметры, необходимые для расчета:

$$T_{KK} = \mu m(t_{KK} - t_0^{max}) = 0,03 \cdot 0,25 (35,6 - 15) = 0,1546$$

$$T_N = \mu m(t_N - t_0^{max}) = 0,03 \cdot 0,25 (30 - 15) = 0,1125$$

$$C_p = \frac{1,324 \cdot 10^5}{\sqrt{250}} (0,403 + 0,00081 \cdot 30) = 1940 \frac{\text{Дж}}{\text{кг} \cdot \text{град}}$$

Для расчета К следует установить необходимость учета подсушки грунта в зимний период. Переход температур нефти и грунта в начале и конце трубопровода изменяется в пределах  $30 \pm 36^\circ\text{C}$ , что больше его критического значения для суглинка -  $28 \pm 37^\circ\text{C}$ .

(табл. I) при  $W_0 = 22\% < \alpha, \rho_{rp} - \alpha_2 = 35\%$ , поэтому расчет  $\lambda$ , следует вести по формулам (8), (9) при следующих значениях коэффициентов (табл. 2, 3, 4,):

$$C_1 = 0,216 ; C_2 = 1,98 \cdot 10^{-5} ; C_3 = 2,27 \cdot 10^{-4} ; \beta_1 = 1,676 ;$$

$$\beta_2 = 15,63 ; n_0 = -2,54 \cdot 10^{-4} ; n_1 = 0,0105 ; n_2 = -8,32 \cdot 10^{-3}$$

По формулам (9) и (8) находим:

$$\lambda_{rp,0} = 0,216 + 1,98 \cdot 10^{-5} \cdot 1500 \cdot 22 + 2,27 \cdot 10^{-4} \cdot 1500 = 1,21 \frac{\text{Вт}}{\text{м}^2 \text{С}}$$

$$\lambda_m = \left( 21 - \frac{1,98 \cdot 10^{-5} \cdot 1500 / (30-5) \sqrt{-2,54 \cdot 10^{-4} \cdot 22^2 + 0,0105 \cdot 22 - 8,32 \cdot 10^{-3}}}{1,676 / (30-5) - 15,63} \right) = 0,987 \frac{\text{Вт}}{\text{м}^2 \text{С}}$$

В летний период подоушки грунта не наблюдаются, т.к. перепад температуры  $t_N - t_o^{\max} = 15^\circ\text{C} < (t - t_o)_{\text{но}}$  (табл. 1), поэтому  $\lambda_{rp}$  находим по формуле (9)  $\lambda_{rp}^{\max} = 1,21 \frac{\text{Вт}}{\text{м}^2 \text{С}}$ .

В первом приближении примем [I]:

$$K_m = \frac{2 \lambda_{rp,0}}{2 \ln \frac{4(h_1 + \lambda_{rp}/\alpha_1)}{\Delta_{\text{пар}}} \cdot \Delta_{\text{пар}}} = \frac{2 \cdot 1,21}{1,194 \ln \frac{4(11 + 1,21/15)}{1,22}} = 1,497 \frac{\text{Вт}}{\text{м}^2 \text{С}}$$

$$K_{\min} = \frac{2 \lambda_{rp}}{2 \ln \frac{4(h_1 + \delta_{\text{пар}} \frac{\alpha_1}{\alpha_2} + \frac{\alpha_2}{\alpha_1})}{\Delta_{\text{пар}}} \cdot \Delta_{\text{пар}}} = \frac{2 \cdot 0,987}{1,194 \ln \frac{4(11 + 0,93 \frac{1,21}{0,4} + \frac{0,4}{1,21})}{1,22}} = 0,902 \frac{\text{Вт}}{\text{м}^2 \text{С}}$$

Для расчета допустимой производительности используем:

$$K_f = 0,5 (K_{max} + K_{min}) = 0,5 (1,497 + 0,902) = 1,2 \frac{\text{By/m}^2 \cdot \text{г}}{\text{т}}$$

$$A = \frac{4m D^{0.75} \rho g}{K_f \pi D^{6/5} \rho_w^{2/5}} = \frac{9.8 \cdot 0.03 \cdot 0.25 (15 \cdot 10^{-6})^{0.75} \cdot 0.0247}{1.2 \cdot 3.14 (1.194)^{6/5} \cdot 850^{2/5}} = 8.213 \cdot 10^{-4}$$

$$\gamma_a = \frac{1.2 \cdot 3.14 \cdot 1.194 \cdot 2 \cdot 10^6}{1.94 \cdot 10^3 \cdot G_m} = \frac{4.640 \cdot 10^3}{G_m}$$

Составляем уравнение для нахождения  $M_m$ :

$$\left( \frac{M_m}{M_m} \right)^{0.15} = \frac{[0.1125 - 0.1546 \cdot \exp\left(\frac{4.64 \cdot 10^3}{M_m}\right)] \cdot 10^6}{[1 - \exp\left(\frac{4.64 \cdot 10^3}{M_m}\right)] 8.213 \exp[-0.5(0.1125 + 0.1546)]}.$$

Максимальный расход находится методом итерации:

$$M_m = 2402 \frac{\text{м}^3/\text{с}}{\text{т}} = 72,64 \text{ млн т/год}$$

Рекомендуемый расход равен 78 млн.т/год (табл.П-5), что больше полученного максимального расхода, поэтому данный нефтепровод следует рассчитывать на производительность 72,6 млн.т/год, т.е.  $M = 2400 \text{ кг/с.}$

Для выбора необходимой для расчета формулы следует рассчитать значение  $\Pi$ ,  $\Pi_0$  и коэффициентов  $a, b$ .

По формулам (8), (9) и приложению 3 определяем значения критерия  $Re_s, R_s, R_{tw}$  и величины  $d_1, d_2, K, t_w$  при температурах потока, равных 35, 30, 25°C методом итерации на ЭВМ "Башра" (приложение 8) для зимнего периода года, т.е. при  $t_o = 5^\circ\text{C}$  [2].

Таблица II-13

	$t_1$	$Re_s$	$P_{t_1}$	$P_{t_2}$	$\lambda_1$	$\lambda_2$	$K$	$t_2$
				$\text{Pa}/\text{m}^2$	$\text{Pa}/\text{m}^2$	$\text{Pa}/\text{m}^2$	$\text{Pa}/\text{m}^3 \cdot ^\circ\text{C}$	$^\circ\text{C}$
35	380714	99,82	99,98	502,9	0,9151	0,9332	34,94	
30	326323	115,05	115,21	473,8	0,9301	0,9484	29,95	
25	279708	132,58	132,75	446,4	0,9400	0,9582	24,96	

По данным таблицы находим:

$$\theta = \frac{(K_1 - K_2)(t_1 - t_0)(t_2 - t_0)}{t_0 - t_1 - t_2 + t_0} = \frac{(0,9332 - 0,9484)(35 - 5)(30 - 5)}{30 - 5 - 35 + 5} = 2,28$$

$$\alpha = K_3 - \frac{\theta}{t_3 - t_0} = 0,9582 - \frac{2,28}{25 - 5} = 0,8442$$

$$u_m \frac{\theta}{\alpha} = 0,03 \cdot 0,25 \cdot 2,7 = 0,0205$$

$$T_a = u_m (t_a - \bar{t}_0) = 0,03 \cdot 0,25 (30 - 5) = 0,1875$$

$$K_{ap} = \frac{1}{3} (0,9332 + 0,9484 + 0,9582) = 0,9466 \text{ Pa/m}^2 \cdot ^\circ\text{C}$$

$$\rho_s = 850 - 0,7(5 - 15) = 857 \text{ kg/m}^3$$

Определяем критерии Ибданского:

$$\gamma_a = \frac{K_{ap} \pi D \rho}{M \cdot C_p} = \frac{0,9466 \cdot 3,14 \cdot 1,194 \cdot 10^6}{2400 \cdot 1,94 \cdot 10^3} = 1,593$$

$$\gamma_{a_0} = \frac{Q \cdot \Delta \cdot e}{M \cdot C_p} = \frac{0,8442 \cdot 3,14 \cdot 1,194 \cdot 2 \cdot 10^6}{2400 \cdot 1,94 \cdot 10^3} = 1,36$$

Находим величину гидравлического уклона и параметров диссипации:

$$i_s = \frac{\rho \cdot V_s^m (M_{fr})^{2m}}{D^{5-m}} = \frac{0,0047 \left\{ 15 \cdot 10^{-6} \exp(-0,03(5-15)) \right\}^{2,25} \left( \frac{2400}{252} \right)^{2,25}}{1,194^{4,08}} = 0,0037$$

$$\Pi = \frac{0,03 \cdot 0,25 \cdot 2400 \cdot 9,8 \cdot 0,0037}{0,9466 \cdot 3,14 \cdot 1,194} = 0,1839$$

$$\Pi_n = \frac{0,03 \cdot 0,25 \cdot 2400 \cdot 9,8 \cdot 0,0037}{0,8442 \cdot 3,14 \cdot 1,194} = 0,2062$$

Определяем необходимые для расчета величины:

$$\bar{T} = \frac{0,1875}{1,593} [1 - \exp(-1,593)] = 0,0937$$

$$\Pi \exp(-\bar{T}) = 0,1839 \cdot \exp(-0,0937) = 0,1675$$

$$\Pi_n \exp(-\bar{T}) = 0,2062 \cdot \exp(-0,0937) = 0,1878$$

$$T_n + \Pi_n \exp(-\bar{T}) = 0,3753$$

По известным величинам  $T_n$  и  $\Pi \exp(-\bar{T})$  определяем область применения формул Шухова и Лейбензона по nomogramm (рис.3 и 4):

$$\gamma_a = 0,77; \quad \gamma_{a_1} = 2,84$$

Поскольку рассчитанный параметр Яблонского равен 1,593, т.е.  $0,77 < 1,593 < 2,84$ , то следует применять формулу Лейбензона.

По величинам величин  $\gamma_a$ ;  $T_n + \Pi_n \exp(-\bar{T})$  определяем возможность учета температурного напора по nomogramm (рис.5). Так как рассчитанный параметр Яблонского больше найденного по nomogramm значе-

так (I,593 > 0,49), то теплоевой расчет следует вести с учетом температурного напора.

Находим значение величины:

$$um(t_{an} - t_{on}) = 0,03 \cdot 0,25 (6 - 4) = 0,015$$

Интенсивность кристаллизации парафина:

$$\frac{\Delta E}{At} = \frac{C_n}{t_{an} - t_{on}} = \frac{0,036}{50} = 0,00072$$

Определяем величину:

$$T_h + um \frac{\theta}{a} - \Pi_n \exp(-\bar{T}) = 0,1875 + 0,0203 - 0,1878 = 0,02$$

По этим значениям находим величину критерия  $\Upsilon_a$  (рис.6), равную 2,00, т.к.  $2,00 > I,593$ , то тепло кристаллизации парафина в данном случае не следует учитывать.

Таким образом, на основании проведенных расчетов делаем вывод, что при расчете температурного режима данного нефтепровода следует учитывать тепло трения потока и температурный напор, т.е. температурный режим определяется по формуле (32).

Находим среднюю температуру нефти по формуле (33):

$$T_\varphi = \frac{0,1875 - 0,1878 + 0,0203}{1,36} [1 - \exp(-1,36)] + 0,1878 - 0,0203 = 0,1784$$

$$t_\varphi = \frac{T_\varphi}{um} + t_0 = \frac{0,1784}{0,03 \cdot 0,25} + 5 = 28,78^\circ C \approx 29^\circ C$$

По номограмме (рис.8) определяем, что потери напора при найденных  $T_h$ ,  $T_0$  и  $\Delta P_{exh} / \bar{T}$  следует определять по формуле (25).

Находим коэффициент Дарси :

$$\xi = \frac{0,3164}{\left( \frac{4M}{(\pi D f_{28})_{15} \exp[-4(t_{15} - 15)]} \right)^{0,25}} = \frac{0,3164}{\left( \frac{4 \cdot 2350}{3,14 \cdot 1,194 \cdot 840,2 \cdot 15 \cdot 10^{-6} \exp[0,03(29 - 15)]} \right)^{0,25}} = 0,01032$$

Определяем потери напора трения :

$$h_t = \xi \frac{\rho}{D} \frac{(4M)^2}{2g(\pi D f_{28})^2} = \frac{0,01032 \cdot 2 \cdot 10^6 (4 \cdot 2350)^2}{1,194 \cdot 2 \cdot 9,8 (3,14 \cdot 1,194 \cdot 840,2)^2} = 7192,2 \text{ м}$$

Находим количество насосных станций :

$$n = \frac{7192,2}{420 \text{ м}} = 17,1 \approx 17$$

Расстояние между НПС приемем одинаковым :

$$l_i = \frac{2 \cdot 10^6}{17} = 117647 \text{ м}$$

Развиваемый напор равен :

$$H = 17 \cdot 420 = 7140 \text{ м} < 7192 \text{ м}$$

Будем считать, что недостающий напор устраивает путем сооружения думпинга. Таким образом подогрев нефти на НПС будет только в насосах.

Важные величины, необходимые для расчета этого подогрева:

$$Re_{ns} = \frac{R^2 \pi D}{30 \nu_{20}} = \frac{0,247^2 \cdot 3,14 \cdot 3000}{30 \cdot 9,86 \cdot 10^{-6}} = 1,94 \cdot 10^6$$

По nomogramme рис. I находим См = 0,03.

Определяем подогрев в насосе по формуле (19):

$$\Delta t_s = \frac{\rho \hat{K} C_m R^5 \omega^3 \rho_{20}}{C_p M} = \frac{2 \cdot 1,09 \cdot 0,03 \cdot 0,247^5 \cdot 3,14^3 \cdot 840,2}{1,94 \cdot 10^3 \cdot 2400} = 0,318^\circ\text{C}$$

Общий подогрев двух насосов равен 0,6°C.

Находим критерий  $\Gamma_{0,i}$  для перегона между НПС:

$$\Gamma_{0,i} = \frac{0,8442 \cdot 3,14 \cdot 1,194 \cdot 117647 \cdot 10^3}{2400 \cdot 1,94 \cdot 10^3} = 0,08$$

Температура нефти на выходе из НПС находится по формуле:

$$t_{n,i} = t_{n,i} + 2\Delta t_s = t_{n,i} + 0,6$$

Температуру нефти по длине перегонов между НПС определяем по формуле:

$$t_x = t_0 + \frac{\Pi_0 \exp(-\bar{T})}{u_m} - \frac{6}{a} + [t_{n,i} - t_0 + \frac{6}{a} - \frac{\Pi_0 \exp(-\bar{T})}{u_m}] \exp(-\Gamma_{0,i} \frac{x}{l_i}) =$$

$$= 5 + \frac{0,1878}{0,03 \cdot 0,25} - 2,7 + [t_{n,i} + 0,6 - 5 + 2,7 - \frac{0,1878}{0,03 \cdot 0,25}] \exp(-0,08 \frac{x}{l_i}) =$$

$$= 27,59 + (t_{n,i} - 27) \exp(-0,08 \frac{x}{l_i})$$

Таблица II-16

$\theta$	$a$	$\frac{\theta}{a}$	$um \frac{\theta}{a}$	$T_N$	$\frac{K_{cp}}{Ar/m^2 \cdot C}$	$g_a$	$J_a$	$i_{15}$
-0,018	1,5257	-0,0118	0	0,1125	1,5242	2,456	2,452	0,0031
$\Pi$	$\Pi_n$	$\bar{T}$	$(\Pi_{exp}(-\bar{T})/\Pi_{exp}(\bar{T}))$	$T_N + \Pi_{exp}(-\bar{T})$		$J_a$		
0,0956	0,0954	0,0419	0,0917	0,0915	0,2042		0,1444	

По номограммам (рис. 3 ÷ 7) определяем, что расчет следует вести по формуле (29):

$$t_x = t_o + \frac{\Pi_{exp}(-\bar{T})}{um} + [t_{N,i} - t_o + 2\Delta t_{Nc} - \frac{\Pi_{exp}(-\bar{T})}{um}] \exp(-J_a \frac{x}{l_i}) = \\ = 27,23 + (t_{N,i} - 26,63) \exp(-0,1444 \frac{x}{l_i})$$

Таблица II-17

перегон	I	II	III	IV	V	VI	VII	VIII	IX
$t_{N,i}, ^\circ C$	30,00	30,21	30,40	30,56	30,69	30,81	30,91	30,99	31,06
$t_{N,i}, ^\circ C$	29,62	29,82	29,99	30,14	30,27	30,38	30,48	30,56	30,63
$N_{перегон}$	IO	II	III	IV	V	VI	VII	VIII	IX
$t_{N,i}, ^\circ C$	31,13	31,18	31,23	31,27	31,30	31,33	31,35	31,37	
$t_{N,i}, ^\circ C$	30,69	30,75	30,79	30,83	30,88	30,90	30,99	30,94	

Так как  $30,94 < 35,6$ , то необходимо при проектировании условие (40) выполнено, т.е. технологический расчет сделан верно.

Результаты расчетов приведены в таблице II-14.

Таблица II-14

Номер период время	1	2	3	4	5	6	7	8	9
	10	11	12	13	14	15	16	17	
$t_{n1}, ^\circ\text{C}$	30,00	30,41	30,79	31,44	31,47	31,77	32,05	32,31	32,55
$t_{n2}, ^\circ\text{C}$	29,81	30,19	30,54	30,87	31,17	31,45	31,71	31,95	32,17
$t_{n3}, ^\circ\text{C}$									
$t_{n4}, ^\circ\text{C}$	32,77	32,97	33,16	33,33	33,49	33,64	33,77	33,90	
$t_{n5}, ^\circ\text{C}$	32,37	32,56	32,73	32,89	33,04	33,17	33,30	33,41	

Таким образом, температура нефти в конце нефтепровода в зимний период не превышает допустимой величины ( $33,41 < 35,5^\circ\text{C}$ ).

Для проверки этого условия следует проверить тепловой расчет в летний период, т.е. при  $t_{n1} = 15^\circ\text{C}$ . Результаты расчетов приведены в таблицах II-15-II-17.

Таблица II-15

$t_{n1}, ^\circ\text{C}$	$Re_1$	$P_{t1}$	$P_{t2}$	$d_1$	$d_2$	$K$	$T_w$
				$^{\circ}/\text{M}^\circ\text{C}$	$^{\circ}/\text{M}^\circ\text{C}$	$^{\circ}/\text{M}^\circ\text{C}$	$^{\circ}\text{C}$
35	348583	99,40	99,58	467,8	1,4969	1,5245	34,93
30	298778	114,56	114,73	440,8	1,4969	1,5242	29,95
25	256093	132,03	132,17	415,4	1,4969	1,5239	24,96

Пример 4. В условиях примера I необходимо рассчитать теплоизолированный трубопровод с учетом тепла трения. Трубопровод теплоизолирован слоем 50мм пенополиуретана марки ППУ-ЗС, а

$\lambda_u = 0,40 \text{ Вт}/\text{м}^{\circ}\text{C}$  при средней температуре изоляции. Причем, для антикоррозийной изоляции принимается  $\lambda_{u,i} = 0,64 \text{ Вт}/(\text{м}^{\circ}\text{C})$ ,  $d_{наг}$  антикоррозийной изоляции равно 728 мк,  $d_{тп}$  тепловой изоляции равно 828 мк.

Шаг по температуре также  $4^{\circ}\text{C}$  (см. пример I).

На первом участке средняя температура потока  $t_1 = 58^{\circ}\text{C}$ . Для определения  $t_{наг}$  используется формула П-15.

Задаемся треня эвакуации  $t_w$  температуры стоянки. Для этих температур отдаляется  $\alpha_u$  по формуле П-4 при режиме перекачки в зоне Глухуса.

Результаты расчетов сведены в табл.П-18.

Таблица П-18

	$t_w, ^{\circ}\text{C}$	$d_{\alpha_u}, \frac{\text{Вт}}{\text{м}^2 \text{град}}$	$ t_1 - t_w  \frac{1}{\text{град}}$	$\alpha_u(t_1 - t_w)$	$t_{наг}, ^{\circ}\text{C}$	$d_{наг}, \frac{\text{Вт}}{\text{м}^2 \text{град}}$	$ t_{наг} - t_1  \frac{1}{\text{град}}$	$\alpha_{наг}(t_{наг} - t_1)$
57,90	199,5	0,10	19,9	199,5	35,7	1,53	35,7	64,5
57,85	199,3	0,15	29,9	199,3	24,5	1,63	24,5	47,3
57,80	199,1	0,20	39,8	199,1	13,3	1,74	13,3	27,3

Строим графики функций  $\alpha_u(t_1 - t_w)$  и  $\alpha_{наг}(t_{наг} - t_1)$  в зависимости от  $t_w$  (рис.П-5), находим искомые  $t_w = 57,82^{\circ}\text{C}$ ;  $t_{наг} = 17,7^{\circ}\text{C}$ ;  $\alpha_u = 199,2 \frac{\text{Вт}}{\text{м}^2 \text{град}}$ ;  $\alpha_{наг} = 1,70 \frac{\text{Вт}}{\text{м}^2 \text{град}}$ .

Вычисляем полный коэффициент теплопередачи:

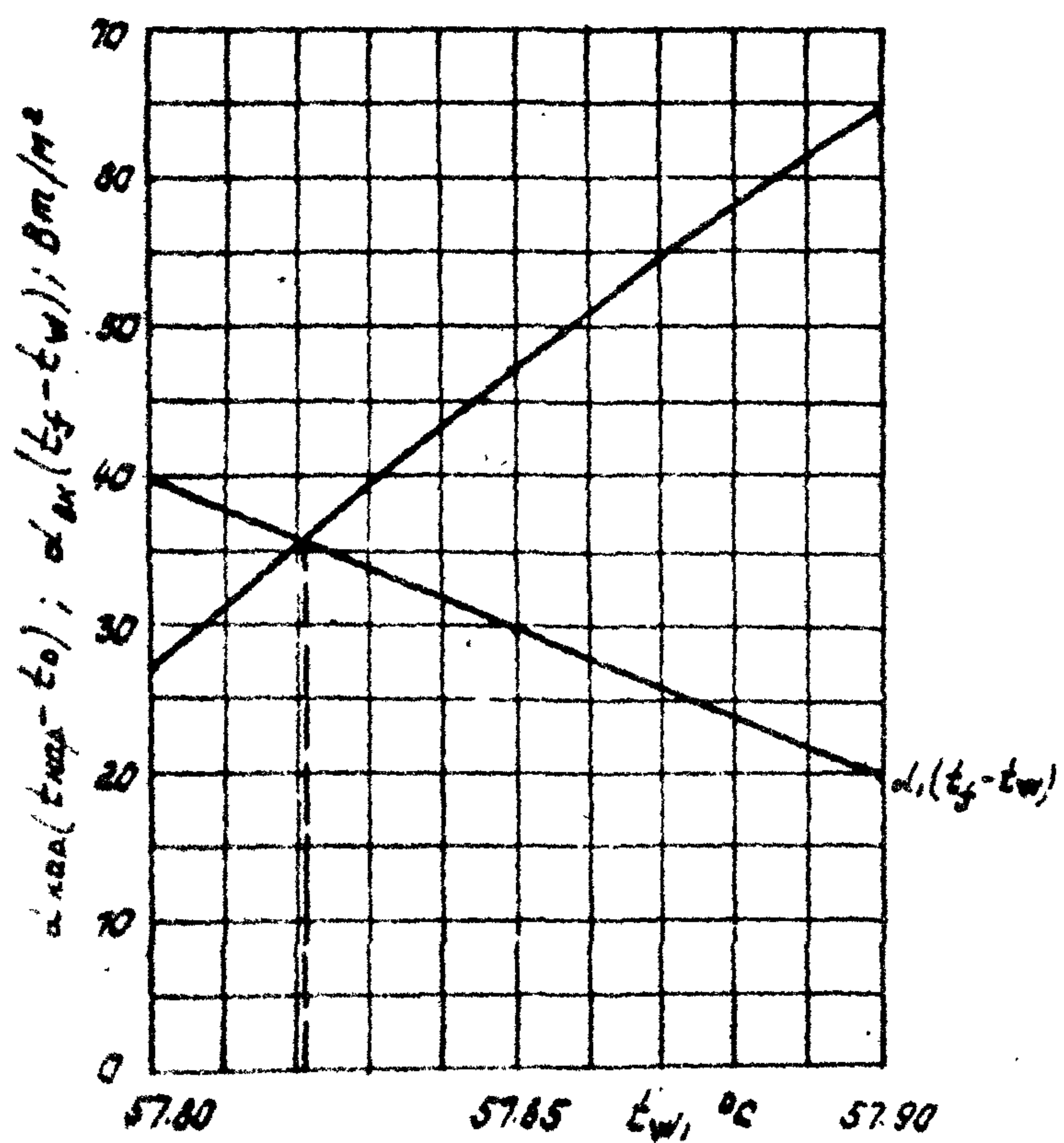


Рис.II-5 к расчету температуры стен в примере 4

## Приложение 9

## Расчет критического числа Рейнольдса.

При "горячей" перекачке критическое число Рейнольдса зависит от условий движения и охлаждения нефти или нефтепродукта. Эти условия характеризуются параметром:

$$\frac{dt}{dl} \cdot \frac{dV'}{dt} \cdot \frac{\beta}{\nu'}, \quad (\text{II-39})$$

где  $dt/dl$  - темп падения средней температуры потока в сечении;

$Re = 2320$ ;

$dV'/dt$  - крутизна изменения вязкости в том же сечении;

$\nu'$  - вязкость жидкости в сечении, где  $Re = 2320$ .

Приближенно, параметр (II-39) можно рассчитать по формуле:

$$u \cdot (t_n - t_0) \frac{\kappa \pi D^2}{g c_{\text{возд}} H} e^{-\lambda'}, \quad (\text{II-40})$$

где  $\lambda'$  - число Яблонского, соответствующее длине, при которой температура становится равной температуре

$$t' = t_0 + \frac{1}{u} \ln \frac{530 \pi D u}{Q} \quad (\text{II-41})$$

Зависимость критического числа Рейнольдса от параметра (II-39) представлена на рис. II-6. Для магистральных трубопроводов величина параметра (II-39) близка к нулю, поэтому для них  $R_{\text{кр}}^{(\text{ном})}/2320$  лежит в диапазоне  $0,95 \div 1,0$ .

РД 39-30-577-81 отр.83

$$K = \frac{1}{\frac{1}{t_{h_0}} + \frac{A}{d_{m, \text{расп}}} + A \sum \frac{1}{d_{h_i}} \ln \frac{t_{h,i}}{t_{h_0,i}}} =$$

$$= \frac{1}{\frac{1}{499,2} + \frac{0,700}{1,70 \cdot 0,021} + 0,80 \left[ \frac{1}{5,00} \ln \frac{4,728}{0,720} + \frac{1}{2,00} \ln \frac{0,9218}{0,720} \right]} = 0,618 \frac{\text{W}}{\text{м}^2 \text{К}}$$

В Приложении 10 приведена программа расчета количества квадратных метров телловарда на ЭВМ "Накри".

Продолжая расчеты в порядке, указанном в примере 1, получаем результаты, сведенные в табл. II-19.

Таблица II-19

Номер уч-ка	$t_h, ^\circ\text{C}$	$t_w, ^\circ\text{C}$	$t_{\text{нар}}, ^\circ\text{C}$	$K, \frac{\text{W}}{\text{м}^2 \text{К}}$	$Y_a$	$\lambda_t, \text{М}$
1.	58	57,82	17,7	0,618	0,0865	58695
2.	54	53,83	16,4	0,619	0,0958	66209
3.	50	49,83	14,4	0,621	0,1089	74362

Результаты расчета представлены на рис. II-1 в сравнении с распределением температуры для трубопровода без телевой изоляции, полученной в примере 1.

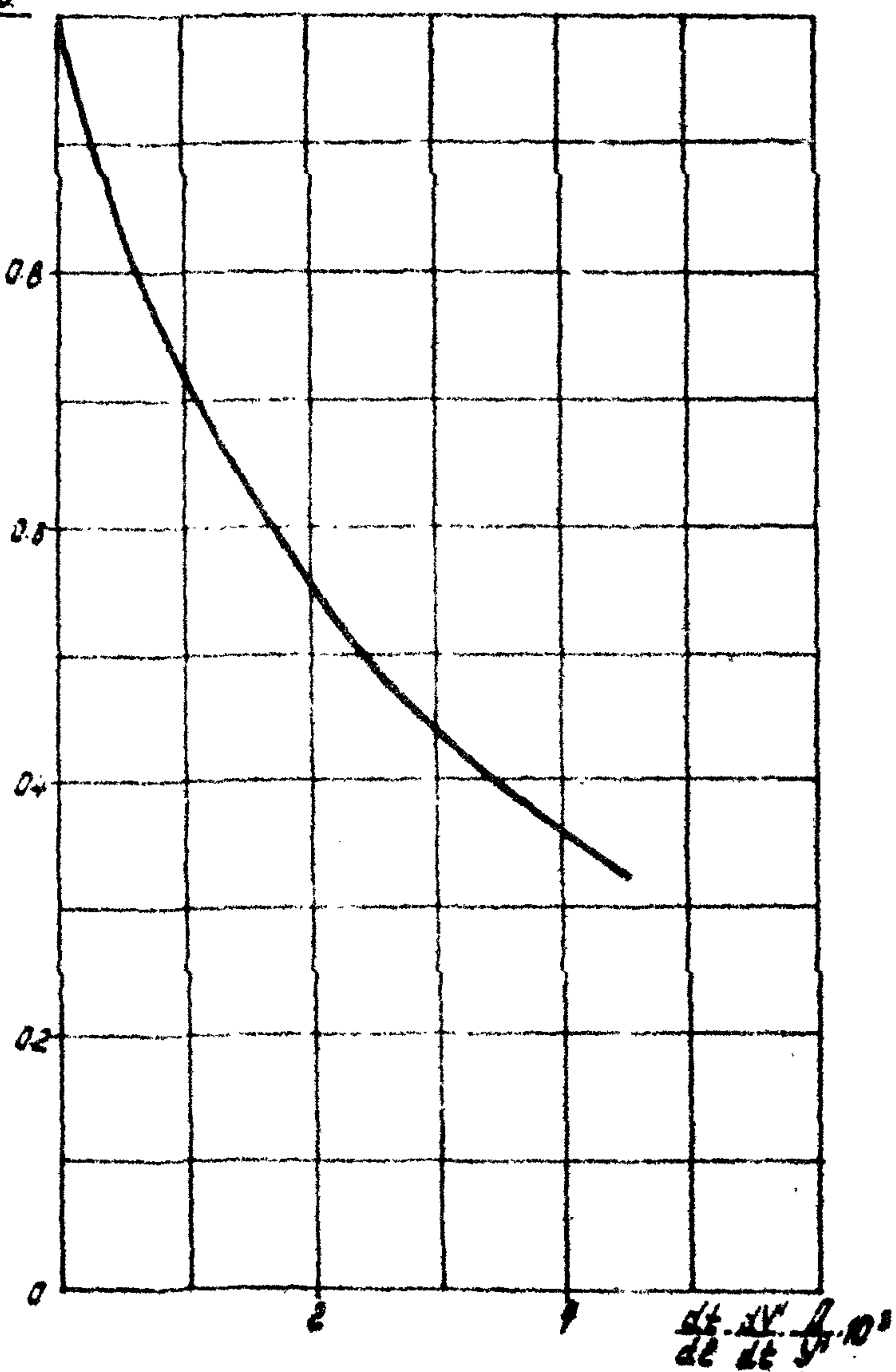
нов.Безо.

Рис. II-6 Зависимость критического числа Рейнольдса  
от условий движения и охлаждения жидкости  
в трубопроводе

## Приложение 10

Программа расчета полного коэффициента  
теплопередачи на ЭВМ "Накри"

**1.** Описание программы. Программа предназначена для расчета коэффициента теплопередачи с учетом подсушки грунта вокруг трубопровода методом итерации.

**2.** Условные обозначения вводимых величин и их размерности приведены в таблице II-18.

Таблица II-18

Величина	$M$	$D$	$\alpha_s$	$\rho_{15}$	$V_{10}$	$U$	$W$	$\rho_u$	$C_1$	$C_2$	$C_3$
Размеры, [м]	[ $m$ ]	[ $m$ ]	[ $m$ ]	[ $m^3$ ]	[ $Nyc$ ]	[ $1/t$ ]	[ $%$ ]	[ $K/m^2$ ]	-	-	-
Условное обознач.	$\zeta_0$	$C_0$	$C_1$	$C_2$	$C_3$	$C_4$	$C_5$	$C_6$	$C_7$	$C_8$	$C_9$
Величина	$t_0$	$n_1$	$n_2$	$n_3$	$b$	$b_s$	$h$	$\delta_{ex}$	$A_m$	$t$	$t_0$
Размеры, [ $^{\circ}C$ ]	-	-	-	-	-	-	-	-	-	-	$^{\circ}C$
Условное обознач.	$C_0$	$C_1$	$C_2$	$C_3$	$C_4$	$C_5$	$C_6$	$C_7$	$C_8$	$C_9$	$R$

**3.** Величина  $Q$  равна (+1) при наличии подсушки (табл. I) и (-1) без подсушки грунта трубопроводом.

**4.** Начальная величина шага по температуре стенки задается:

$$\epsilon = 1 \text{ или } \epsilon = 2.$$

**5.** На печать выводятся значения следующих величин с точностью до четвертого знака:

Таблица Б-19.

Условное обознач.	M	H	P	0	u	x	ш	g
Размеры.	-	-	-	Bт/м°C	°C	Bт/м°C	Bт/м°C	Bт/м°C
Величина	$Re$	$\rho_2$	$\rho_{2w}$	$d$	$t_w$	$\lambda_v$	$d_s$	$K$

ап 0-0-0г 1997

&lt;&lt;вариант 2&gt;&gt;

 $i=19$  с1 допустим  $i=0$ 2 введем  $c_i$ 3 вставим  $L=i+1$ 4 если  $i=19 \neq 0$  идти к 35 введем  $r$  в а6 вычислим  $m=r-10$ 7 вычислим  $n=ut$ 8 вычислим  $m=I \cdot 273 c_o / (c_s (c_s - c_o (r-15)) c_o \exp(-c_s (r-20)))$ 9 вычислим  $n=(II26 \cdot 8 c_s (\exp(-c_s (r-20))) (c_s - c_o (r-15))$   
 $(0.403+0.0008Ir) \sqrt{c_s}) / (I-0.00054r)$ 10 вычислим  $p=(II26 \cdot 8 c_s (\exp(-c_s (n-20))) (c_s - c_o (n-15))$   
 $(0.403+0.0008In) \sqrt{c_s}) / (I-0.00054n)$ 11 вычислим  $o=(2.4675(\exp(0.84n))(\exp(0.434n))$   
 $(\exp(0.256(n/p)))(I-0.00054r)) / (o, o_s)$ 12 вычислим  $x=c_s + c_s c_o c_s + c_o c_o$ 13 если  $a > 0$  идти к 1514 вычислим  $x=x - (c_s o_s (n-c_s)^2 (r(c_s o_s^2 + o_s o_s + o_s^2))) /$   
 $(c_s (n-c_s) - c_s)$ 15 вычислим  $ш=2x / (c_s \ln(4(o_s+x(0.067+2.155c_s)) / o_s))$ 16 вычислим  $b=c_s o_s (r-n) - c_s ш (n-o_s)$ 

17 спросим

18 спросим

19 если  $b > 0$  идти к 720 вычислим  $u=n-e$   $e=e/2$ 21 если  $b+0.00140 > 0$  идти к 722 вычислим  $g=I / ((r/o) + (o_s / (c_s ш)))$ 23 печатаем с 4 знаками  $m$   $n$   $r$   $o$ 24 печатаем с 4 знаками  $u$   $x$   $ш$   $g$ 

25 интервал I

26 идти к 5

исполним I

## Приложение II

## Расчет коэффициента теплопередачи по результатам натурных наблюдений

Полный коэффициент теплопередачи от нефти в грунт (средний на участке от  $X_n$  до  $X_k$ ) вычисляется по формуле:

$$K = \frac{M}{\pi d(t_j - t_i)} \left[ (C_p - \frac{dE}{dt}) \cdot \frac{t_j'' - t_i''}{X_k - X_n} + \frac{gh}{X_k - X_n} + \frac{C_p q_e T_D (X_k - X_n)}{M} \right] \quad (\text{II-42})$$

При достаточно малых длинах участков для вычисления среднего значения величины на участке можно брать либо среднее арифметическое из значений величины в начале и в конце участка, либо (что несколько точнее) придавать больший вес значению величины в конце участка, вычисляя среднее значение по формуле:

$$A_{ср} = \frac{A_n + 2A_k}{3},$$

где  $A_{ср}$  - чистовое значение осредняемой величины.

Для обработки опытных данных при вычислении  $K$  необходимо прикладывать данные эксплуатации, соответствующие работе на одном режиме не менее 2-3 суток.

При отсутствии данных по распределению температуры на перегоне между тепловыми станциями, среднее значение коэффициента теплопередачи от нефти в окружающую среду можно приближенно рассчитать по формуле:

$$K = \frac{M(C_p - \frac{dE}{dt})_{ср} \cdot e_n \cdot \frac{T_n - \Pi_n}{T_k - \Pi_n}}{\pi D e} \quad (\text{II-43})$$

Расчеты по формуле проводятся методом последовательных приближений. За начальное приближение можно брать величину  $K$ , определяемую уравнениями:

$$KA = Q,6 \frac{dt}{N^2 \cdot \zeta} \quad (B-44)$$

### СИСТОМЫ ЛИТЕРАТУРЫ

1. Методика расчета эксплуатационных режимов технологизированных нефтепроводов, Уфа, Гипрнефтехол, РСФСР, 1979.
2. Нефтепродукты. Метод определения фракционного состава, ГОСТ 2-177-66, М., Издательство стандартов, 1977.
3. Нефть. Степень подготовки для нефтеперерабатывающих предприятий, ГОСТ 9965-76, М., Изд.стандартов, 1977.
4. Нормы технологического проектирования и технико-экономические показатели магистральных нефтепроводов и нефтепродуктопроводов (ВСН-Г7-77), М., Гипротрубопровод, 1977.
5. Методическое руководство по статистическим исследованиям гидравлики трубопроводного транспорта. Утверждено Миннефтехпромом, Авт.-Мирзааджанзаде А.Х. и др., Уфа, ВНИИСПТнефть, 1975.
6. Методическое руководство по применению аддитивных методов в газодорожном транспорте. Утверждено Мингазпромом, Авт. - Мирзааджанзаде А.Х. и др., ВНИИЭГазпром, 1975.
7. Магистральные трубопроводы. Нормы проектирования, СНиП В-45-75 М., Стройиздат, 1975.

## СОДЕРЖАНИЕ

I. Общие положения .....	2
2. Исходные данные для расчета .....	4
3. Термический расчет нефтепровода при установившемся режиме перекачки нефти .....	9
4. Гидравлический расчет нефтепровода при установившемся режиме перекачки нефти .....	17
5. Порядок теплогидравлических расчетов нефтепроводов..	19
6. Расчет оптимальных параметров трубопроводов с учетом тепла трения .....	28
Приложение I. Условные обозначения .....	34
Приложение 2. Справочные таблицы .....	40
Приложение 3. Расчет полного коэффициента теплопередачи от жидкости в окружающую среду .....	44
Приложение 4. Расчет коэффициента увеличения гидравлического сопротивления $\Delta z$ .....	52
Приложение 5. Расчет величины $\dot{L}$ .....	54
Приложение 6. Расчет интенсивности кристаллизации парафина	57
Приложение 7. Расчет эффективной теплоемкости нефти .....	60
Приложение 8. Примеры теплогидравлических расчетов .....	62
Приложение 9. Расчет критического числа Рейнольдса .....	82
Приложение 10. Программа расчета полного коэффициента теплопередачи на ЭВМ "Накри" .....	85
Приложение II. Расчет коэффициента теплопередачи по результатам натурных наблюдений .....	87
Список литературы .....	89

Н.А.Макушкин, П.И.Тутуков, А.П.Неволкин, Л.С.Абрамзон,  
Р.Ш.Смртланов, М.И.Двик, С.И.Челомбикто, С.А.Сладев,  
В.А.Русейкин.

Методика теплового и гидравлического расчета  
трубопроводов при стационарной перекачке  
вязких нефти с учетом тепла трения

РД 39-30-577-81

-----  
Подписано к печати 5.08.81 № 48

Формат 60x84/16. Объем 3,9 в уч.-изд. л.

Тираж 300 экз. Заказ 3447 Цена 12 к.

-----  
Гипротрубопровод, 625019, г.Тюмень, ул.Республики, 209

Редакция Гипротрубопровода